

870115

25  
2g'

**UNIVERSIDAD AUTONOMA DE GUADALAJARA**  
INCORPORADA A LA UNIVERSIDAD NACIONAL AUTONOMA DE MEXICO

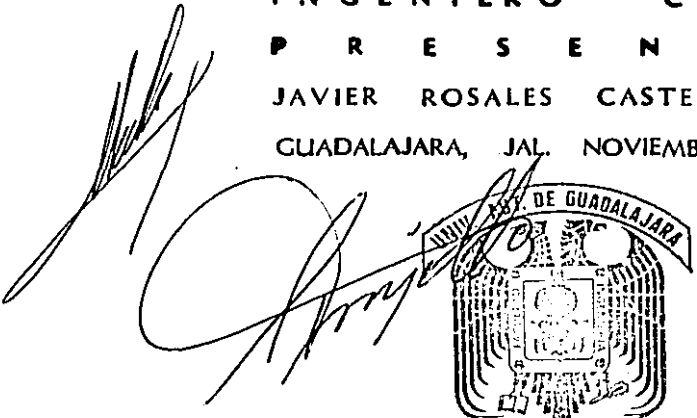
**ESCUELA DE INGENIERIA**



TESIS CON  
FALLA DE ORIGEN

ANALISIS ESTRUCTURAL DE PORTICOS DE VARIOS PISOS, POR  
COMPUTADORA, MEDIANTE EL METODO DE KANI.

**TESIS PROFESIONAL**  
QUE PARA OBTENER EL TITULO DE  
**INGENIERO CIVIL**  
P R E S E N T A  
JAVIER ROSALES CASTELLANOS  
GUADALAJARA, JAL. NOVIEMBRE 1988





**UNAM – Dirección General de Bibliotecas**

**Tesis Digitales**  
**Restricciones de uso**

**DERECHOS RESERVADOS ©**  
**PROHIBIDA SU REPRODUCCIÓN TOTAL O PARCIAL**

Todo el material contenido en esta tesis está protegido por la Ley Federal del Derecho de Autor (LFDA) de los Estados Unidos Mexicanos (México).

El uso de imágenes, fragmentos de videos, y demás material que sea objeto de protección de los derechos de autor, será exclusivamente para fines educativos e informativos y deberá citar la fuente donde la obtuvo mencionando el autor o autores. Cualquier uso distinto como el lucro, reproducción, edición o modificación, será perseguido y sancionado por el respectivo titular de los Derechos de Autor.

## ÍNDICE

### CAPÍTULO 1 INTRODUCCIÓN

### CAPÍTULO 2 EL ANÁLISIS ESTRUCTURAL Y LA COMPUTACIÓN

- A) Historia y evolución del Análisis Estructural.
- B) Historia y evolución de la computación.
- C) Utilización de la computación en el Análisis Estructural.

### CAPÍTULO 3 EL MÉTODO DE KANI

- A) Generalidades.
- B) Deducción del método.
- C) Alcances y Limitaciones.
- D) Ejemplo práctico.

### CAPÍTULO 4 PROGRAMA GENERAL DEL MÉTODO

- A) Generalidades.
- B) Diagrama de flujo.
- C) Variables utilizadas por el programa.
- D) Listado del programa.

### CAPÍTULO 5 APLICACIONES

- A) Generalidades.
- B) Uso del programa.
- C) Ejemplos resueltos.

### CAPÍTULO 6 CONCLUSIONES

### BIBLIOGRAFÍA

# CAPITULO

—

# INTRODUCCION

### A) INTRODUCCIÓN

Hace apenas 50 años se inició la era de la computación, pero ya ha ejercido un profundo efecto sobre nuestras vidas. Y así las computadoras se han convertido en herramienta primordial en la oficina, en la fábrica, incluso en los supermercados. En los últimos 10 años han penetrado también en los hogares, a medida que la gente ha ido comprando multitud de juegos por computadora y de computadoras personales. Las computadoras son tan comunes en la actualidad, que difícilmente transcurre un día sin que tengamos contacto con ellas.

Pese al auge que estas máquinas tienen en el mundo moderno, la mayoría de las personas sabe poco sobre ellas. Les consideran una especie de "cerebro electrónico"; no saben como funcionan, como se usan, ni cuánto pueden simplificar las tareas cotidianas. El motivo de este trabajo es mostrar una de tantas aplicaciones que puede tener en la vida diaria, y más específicamente dentro de la Ingeniería Civil.

Con el desarrollo de esta tesis se pretende también simplificar las horas dedicadas al trabajo de cálculo de estructuras, con el fin de que las actividades del ingeniero sean más bien creativas y no rutinarias. Está enfocada al uso de computadoras personales, herramienta que está al alcance de muchos ingenieros y que tiene las mismas características y cualidades que los gigantescos computadores, sólo que con menor capacidad.

Espero que este trabajo sirva de motivación, para que muchos ingenieros profundicen en el campo de las computadoras, y así poder llegar a aprovechar el enorme potencial que éstas nos brindan.

# CAPITULO 2

## EL ANALISIS ESTRUCTURAL Y LA COMPUTACION

## A) HISTORIA Y EVOLUCIÓN DEL ANÁLISIS ESTRUCTURAL

Para nosotros es fácil aprender los métodos de cálculo de estructuras en muy poco tiempo, gracias al enorme esfuerzo de los grandes científicos que descubrieron y organizaron los principios de la mecánica y el análisis estructural. Tuvieron que pasar más de 5000 años para que todos estos cerebros coajaran las teorías que hoy manejan ingenieros de todo el mundo con suma facilidad.

Para los iniciadores fue mucho más difícil. Se tienen los primeros registros alrededor del año 3400 A.C. en las regiones de Egipto y Mesopotamia, donde los constructores se guían por las apariencias de los materiales, por reglas empíricas sin bases científicas y que pasaban de generación en generación como secretos pero que jamás eran incrementadas. La ingeniería estructural existía en esas épocas como arte y no como ciencia, siendo el primero en ser considerado como ingeniero el egipcio Imhotep por haber sido el constructor de varias pirámides y edificios alrededor del año 2000 A.C.

Los elementos estructurales utilizados en Egipto fueron la viga y la columna, muy rara vez se uso el arco pero no como soporte sino únicamente como ornato.

Mientras tanto, los persas utilizaban el adobe como elemento principal de construcción y la piedra para las vigas y las columnas. Por otro lado los asirios fueron los primeros en tomar el arco como unidad estructural en sus construcciones marcando un avance en la ingeniería de aquella época.

Años después, los griegos vinieron a dar un gran avance a la geometría, matemáticas y la física, ciencias ligadas directamente a la ingeniería estructural y que a la postre redundaría en el desarrollo de ésta. Hombres como Tales de Mileto, Pitágoras, Demócrito, Aristóteles, Arquímedes y Leucipo fueron reconocidos como grandes sabios, pues no sólo profundizaron en alguna materia sino que trabajaron en varias de ellas a la vez, tal es el caso de Aristóteles quien escribió sobre más de 20 campos diferentes del conocimiento humano.

De todos estos hombres se considera a Arquímedes (287-212 A.C.) como el más notable de los científicos griegos pues sobrepasó a sus contemporáneos. El introdujo el término "centro de gravedad" de los cuerpos y sus trabajos de geometría dieron a Newton y Leibnitz la información que los condujo al desarrollo del cálculo infinitesimal. Fue también el fundador de la estática con sus tratados sobre el equilibrio y contribuyó a la invención de máquinas famosas como la catapulta, que mantuvo a raya a los ejércitos romanos que trataban de tomar la ciudad de Siracusa.

Precedieron a los griegos los romanos, quienes fueron hábiles constructores de puentes de hasta 120 metros de largo. Ellos eran de naturaleza más práctica que científica, ya que durante su periodo de dominación la ciencia no tuvo gran avance a excepción de casos aislados, pero en la práctica se construyeron obras portentosas como el Coliseo Romano, los grandes acueductos y puentes que dieron gran renombre a sus ingenieros. Como elementos estructurales utilizaron la viga y la columna por herencia, pero difundieron el uso del arco en la mayoría de sus obras así como las primeras cúpulas.

A partir del año 500 D.C. se inicia un periodo de estancamiento debido a la anarquía existente en el continente europeo y una decadencia de la civilización. Hasta el año 1450 cuando termina la Edad Media solo se puede nombrar como destacada la introducción del sistema árabe de números en el continente europeo por los árabes y cuyos inventores fueron un grupo de matemáticos hindúes alrededor de 600 D.C.

Es después del año 1450 cuando se inicia el verdadero avance de la ciencia con la aparición del genio más brillante de todos los tiempos, Leonardo da Vinci (1452-1519), quien fue músico, escultor, constructor, pintor, inventor, y científico. Leonardo fue el primero en introducir el concepto del momento de una fuerza y la ley de la palanca, parte fundamental de la Ingeniería Estructural.

Le sigue el arquitecto Italiano Palladio (1510-1580), quien introduce el concepto de armadura, pero sin llegar a hacer un análisis profundo de éstas, pasando todavía dos siglos para que se utilizaran y desarrollaran por primera vez (1758) por el suizo Ulrich Grubenmann pero que tampoco llegó a una conclusión satisfactoria sobre el comportamiento interno de éstas.

El primero en analizar el comportamiento interno de los fibres en los miembros sometidos a esfuerzos fue el astrónomo italiano Galileo Galilei (1564-1642). Puede decirse que con él inicia la llamada edad de la razón en el análisis estructural y con sus estudios sobre la ruptura de los materiales nació también la mecánica de materiales. Él, estudió el comportamiento de la viga en voladizo y dedujo una fórmula para calcular el esfuerzo interno en ésta, pero sus conclusiones fueron erróneas aunque de bastante ayuda.

Años después, Robert Hooke estudió la elasticidad de los materiales, lo cual lo llevó a deducir la ley que hoy lleva su nombre. Fue hasta 1680 que E. Meredithe aplicó este teorema para el caso de una viga, observando como en ésta algunas fibras se comprimían mientras que otras se alargaban.

El siguiente gran paso lo dio James Bernoulli, quien dedujo que las secciones planas siguen planas durante la flexión de la viga y aplicando la Ley de Hooke obtuvo una distribución de esfuerzos lineal, pero se olvidó de tomar en cuenta el eje neutro por lo que también llegó a resultados erróneos, dejándole todo el crédito del éxito a Charles A. Coulomb (1736-1806) quien analizó en forma correcta los esfuerzos internos de las fibras de una viga de sección rectangular. Él consideró que los esfuerzos partían del eje neutro en forma lineal hasta la parte superior e inferior de la sección de la viga, pero que momentos antes de la ruptura, ésta se comportaba en forma plástica por lo que el eje neutro se trasladó de lugar. La fórmula de la Escuadria, es la culminación de sus estudios los cuales hizo basándose en los trabajos hechos por Parent con anterioridad.

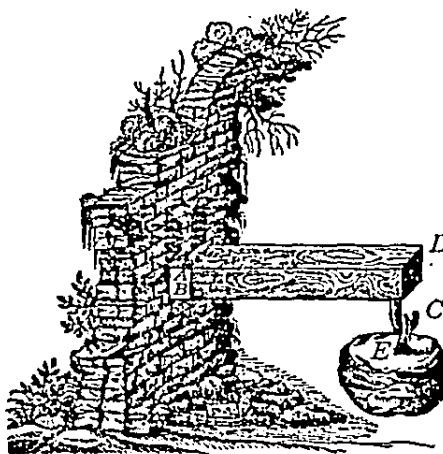


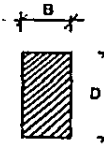
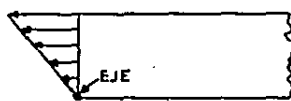
Ilustración usada por Galileo.

$$\sigma = 2 \frac{M}{BD}$$



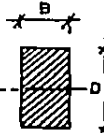
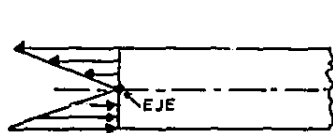
GALILEO (1564-1642)

$$\sigma = 3 \frac{M}{BD^2}$$



J. BERNOULLI (1654-1705)

$$\sigma = 6 \frac{M}{BD^3}$$



COULDMB  
PARENT (1665-1716)

Durante todo el siglo 19 el Análisis Estructural se desarrolló rápidamente gracias a los variados estudios que hicieron innumerables ingenieros como Henri Navier, Lame, Clapeyron, Saint-Venant, Squire Whipple, y muchos otros que contribuyeron enormemente en el progreso, a tal grado que a finales de 1856 ya existían métodos para el cálculo de esfuerzos en armaduras simples, se conocía perfectamente la acción de la viga simple y ya se había iniciado la teoría de la acción de la columna.

Una vez establecidas las bases, comenzó el desarrollo de una teoría comprensible de las estructuras, iniciándose así el periodo moderno cuyo avance explicaremos a continuación en forma cronológica:

- 1859- El ing. francés Bréguet publicó métodos para el análisis de arcos y vigas (Método de los 3 momentos).
- 1860- Se desarrolla el método de las secciones para el cálculo de armaduras por el alemán August Fitter.
- 1864- James Clark Maxwell (1831-1879) publicó la primera contribución significativa al desarrollo de la teoría del análisis estructural indeterminado, resolviendo una armadura redundante.
- 1867- La linea de influencia se introduce por el alemán E. Winkler.
- 1872- El italiano F. Betti sacó a la luz el teorema de deflexiones recíprocas que desarrolló Maxwell y que hoy se llame "Teorema recíproco de Maxwell-Betti".
- 1879- El ingeniero Alberto Castigliano publicó sus dos teoremas basados en el trabajo mínimo, uno de los cuales presentó como tesis en 1873 para obtener el título de ingeniero.
- 1886- Heinrich Müller-Breslau desarrolla su famoso teorema sobre las líneas de influencia y muestra la utilidad de los teoremas de Maxwell y Betti.
- 1887- Clinton Fidler introduce el método de puntos característicos para el análisis de vigas continuas.
- 1896- M. Vierendeel desarrolla la armadura que lleva su nombre.
- 1908- A.C. Wilson presenta el primer intento de estudio sobre cargas laterales actuando sobre marcos de varios pisos, con un método aproximado al que llama "Método del voladizo".
- 1915- Se publica otro método aproximado para pórticos de varios pisos. Esta vez lo presenta Albert Smith y lo llama "Método del Portal".
- 1915- George A. Manney desarrolla el método de Pendiente Desviación a partir de los trabajos hechos por Mohr y Mandelstam. Durante 15 años fue el único método exacto para la resolución de marcos.
- 1930- Hardy Cross publica su método de Distribución de Momentos que ya había enseñado a sus alumnos desde 1924 y con esto revolucionó el análisis de marcos rígidos.

1954d- El Dr. Gaspar Mani introduce un método para la resolución de pórticos de varios pisos y el cual tiene cierta similitud al de Harvey Cross. Actualmente este método lleva su nombre.

## B) HISTORIA Y EVOLUCIÓN DE LA COMPUTACIÓN

El mayor incentivo para el desarrollo de las computadoras a sido siempre el de reducir el tiempo necesario para realizar operaciones aritméticas y disminuir los errores en que con tanta frecuencia incurre el hombre al hacer cálculos, con objeto de que pudiera dedicarse al trabajo creativo. A partir de 1930 se inicia un intento serio por crear una máquina capaz de esto y de hacer decisiones lógicas por sí misma, que fuera veloz y exacta a la vez, para poder resolver problemas considerados insolubles hasta esos tiempos debido a su laboriosidad.

Pero se puede decir que la lucha comenzó mucho antes con la invención del abaco, el cual fue el primer dispositivo creado para facilitar el cálculo aritmético. En Occidente siempre se le ha considerado como juguete o cosa de niños, pero en China y otros países los comerciantes lo utilizan con extraordinaria rapidez y habilidad para hacer sus cálculos, desde sumas y restas hasta multiplicaciones y divisiones. El abaco puede ser considerado como una máquina computadora digital.

Le siguen al abaco las reglas de cálculo (cilia), las cuales están basadas en la suma de los logaritmos de los números para obtener su multiplicación. En la escala se representan estos números como longitudes medidas y cuyo valor es su logaritmo. Es de destacarse que esta suma de longitudes, la distingue fundamentalmente del abaco y pudiéndole llamar "computadora analógica".

Pocos años después en 1642, Blas Pascal desarrolló la primera sumadora mecánica del mundo. Esta calculadora consistía esencialmente en un conjunto de ruedas dentadas engranadas entre sí, de las cuales cada una corresponde a las unidades, decenas, centenas, etc., y contaban con 10 dientes. Dependiendo del número que te interese marcar se moverían los engranajes; por ejemplo, al numerar 23 se marca moviendo 2 dientes el engranaje de las decenas y 3 dientes el de las unidades. En el caso de marcar dos números para sumarlos, la máquina hace el cierre de unidades a la siguiente rueda automáticamente.

Otro que contribuyó al desarrollo de este tipo de máquinas fué el matemático Charles Babbage (1830) quien tratando de evitar los errores frecuentes existentes en las tablas de cálculo, se dedicó a la tarea de crear una máquina que generara dichas tablas, para que fueran exactas. Desgraciadamente Babbage no pudo terminar su máquina diferencial, debido a que se puso a fabricar otra de uso más general que tuviera más aplicaciones, pero que tampoco terminó por falta de apoyo económico.

En 1854 el matemático George Boole creó un sistema para representar las proposiciones lógicas por medio de símbolos matemáticos. Con estos símbolos, y unas pocas reglas, podía determinarse si una proposición era, en sentido lógico, verdadera o falsa. Sus métodos no tuvieron entonces amplia aceptación, pero constituyen en la actualidad la base de la capacidad lógica de las computadoras modernas.

Otro avance fue la creación de las tarjetas perforadas inventadas por Herman Hollerith (1890) y que fueron utilizadas por primera vez en la oficina del Censo de los Estados Unidos de América para el almacenamiento de una gran cantidad de datos.

La tecnología se desarrolló rápidamente y a principios del siglo XX se implementaron las primeras máquinas sumadoras y ya en 1930 había bastantes modelos de donde escoger.

En 1938 Claude Shannon aplicó los métodos del álgebra booleana a la representación sistemática de complejas redes de commutación. Los resultados obtenidos simplificaron la enseñanza y la investigación en el campo del diseño de circuitos del tipo que actualmente usan las computadoras modernas.

La primera máquina computadora avanzada fue la Mark I (1944), ideada por Howard Aiken en la Universidad de Harvard, que consistía en una gigantesca calculadora mecánica, capaz de realizar largas secuencias de operaciones aritméticas. No obstante, esta máquina era relativamente lenta, pues su velocidad de operación dependía de la rapidez de sus componentes electromecánicos.

La segunda computadora avanzada fue la ENIAC (1945) (Electronic Numerical Integrator and Calculator) creada por J.P. Eckert y J.W. Mauchly y cuya funcionamiento era electrónico. Esta máquina era más rápida que la Mark I, pero carecía de memoria interna y recibía las órdenes por medio de un tablero de computadoras. Su aplicación era muy especializada, ya que fue construida para resolver problemas de balística.

Ellas mismas desarrollaron la computadora EDVAC (1950) (Electronic Discrete Variable Automatic Computer), la cual era más grande que la ENIAC pero realizaba operaciones aritméticas con números binarios y almacenaba instrucciones暂时mente. Pero después fundaron la compañía Remington Rand (ahora Sperry Rand) que construyó la primera computadora comercial moderna a la que llamaron UNIVAC I (Universal Automatic Computer) y tenía la ventaja de manejar datos no científicos, incluyendo datos alfábéticos. La lectura la realizaba por medio de cinta magnética.

Pero no pasó mucho tiempo antes de que UNIVAC, IBM y otras grandes empresas acometieron en franca competencia el desarrollo de una nueva serie de computadoras. El problema original, la construcción de una computadora que funcionara, había sido ya resuelto. Pero esta primera generación de computadoras estaba muy lejos de los perfeccionamientos actuales, ya que esta máquina empleaba válvulas de vacío como componentes básicos de sus circuitos internos, lo que la hacía muy voluminosa (en realidad gigantesca). Las computadoras de la primera generación no eran tan fiables como se había esperado, eran rápidas pero no lo suficiente; tenían capacidad de almacenamiento interno pero no bastante.

Las investigaciones condujeron al desarrollo de computadoras basadas en la sustitución de las válvulas de vacío por los transistores. Las computadoras de la segunda generación que así se obtuvieron, eran más pequeñas, consumían menor energía y producían mucho menos calor. El uso de transistores aumentó la fiabilidad y la velocidad operativa. Al mismo tiempo estas computadoras tenían una capacidad mucho mayor de almacenamiento.

En 1964, aparecieron en el mercado las primeras computadoras de

la tercera generación. Ofrecen estas máquinas muchas ventajas en comparación con las anteriores, inclusive características que no se encontraban en las máquinas de la segunda generación.

El carácter distintivo de las máquinas de tercera generación es el empleo de microcircuitos lógicos de estado sólido, para obtener (los cuales se han miniaturizado) los conductores, resistores, diodos y transistores, combinándolos en placas cuadradas de cerámica de unos 12.5 mm de lado. Mas recientemente se emplean obleas (de menor tamaño) llamadas circuitos integrados monolíticos, en las que se imprimen o graban. Estos minuscúlos circuitos permiten elevar considerablemente la velocidad operacional y esta mayor velocidad, a su vez, permite acometer la realización de tareas hasta ahora imposibles o irrealizables. Los nuevos componentes son más seguros en su funcionamiento, con lo que se reduce el mantenimiento. En la actualidad se dispone de dispositivos de almacenamiento de mayor capacidad y de menor costo por bit.

Muchos fabricantes de computadoras de la tercera generación producen series de computadoras similares y compatibles. Esto significa que los programas preparados para una computadora de una serie dada serán igualmente admitidos por los modelos más avanzados de la misma serie. Esta facilidad es exclusiva de las máquinas de la tercera generación.

La mayoría de los sistemas están diseñados para el procesamiento de datos tanto científicos como comerciales con igual facilidad. Esta particularidad representa una gran ventaja en las empresas o instituciones en que deben manipularse ambos tipos de datos. Antes, había que recurrir en tales casos a dos computadoras (una científica y otra comercial) o conformarse con tratar un solo tipo de datos.

Junto con las computadoras de la tercera generación, han aparecido equipos de salida más rápidos y eficientes, como lectores ópticos, el "mouse", impresoras láser, etc.

Hoy en día las computadoras forman parte integral en la vida del hombre y tienden a ser indispensables, pese a esto, sigue habiendo mucha gente que sabe poco sobre ellas, pues desconocen su funcionamiento y su amplia utilidad.

## C) UTILIZACIÓN DE LA COMPUTACIÓN EN EL ANÁLISIS ESTRUCTURAL

Los computadores han ocasionado un cambio radical en la Ingeniería Civil; este cambio afecta tanto al análisis y diseño de las estructuras como a la enseñanza misma de la profesión.

La computadora representa la culminación de dispositivos de cálculo, tablas, momogramas, calculadores de escritorio, etc., y más que una nueva herramienta, es un enfoque completamente diferente en métodos, conceptos, educación ingenieril. Ningún otro desarrollo a tenido tanta influencia en la historia de la ingeniería.

En las aplicaciones de uso predominante la computadora digital, siendo razones posibles la facilidad en la programación y el hecho de que las características de la computadora concuerdan con los aspectos de precisión y meticolosidad, presentes en la mayoría de los ingenieros. En las aplicaciones también se observa la influencia del desarrollo en los métodos de solución en los lenguajes de programación, en el manejo del equipo auxiliar, que ha permitido la elaboración de sistemas integrados.

Dentro de los métodos que se programaron primero están el de Hardy Cross y el de Gaspar Lami, que por sus repetitivas en el proceso de cálculo, son ideales para el uso de computadoras. Otros métodos que se programaron fueron los de matriz directa, como el de las fuerzas y el de rigideces, aprovechando la rapidez del computador para efectuar este tipo de operaciones y la facilidad en el manejo de grandes cantidades de datos.

Este trío poco resultado, que se le dio la mayor importancia al campo de los méridos numéricos, el álgebra lineal, y el álgebra Booleana, dentro de las materias que se imparten en las escuelas de ingeniería, debido a su gran uso dentro del análisis estructural por computadora.

Dentro del campo de la computación basada en habito de datos, ya que existen lenguajes de programación enfocados a diferentes áreas de estudio, por ejemplo:

**COBOL:** Lenguaje ideal para la programación de problemas de procesos de datos comerciales.

**PL/I:** Lenguaje óptimo para programación tanto técnica como comercial.

**FPG:** Utilizado para producir informes destinados principalmente a la dirección.

**ALGOL:** Es de aplicación particular en problemas matemáticos y numéricos.

**FORTRAN:** Utilizado en la resolución de problemas de ingeniería y científicos.

**BASIC:** Se asemeja al FORTRAN pero es más simple de aprender, aunque no tan flexible. Es el más popular entre aquellos que desean utilizar el computador, sin convertirlos en especialistas.

Y así como estos, existen otros lenguajes enfocados a áreas más específicas. Un ejemplo de estos es STRESCO, que se aplica a problemas especiales de análisis estructural y que entra dentro de la categoría de superlenguajes; FRANC para el análisis de estructuras planas y STAIR para el análisis y diseño de tramos de transmisión, considerándose como estructuras especiales.

Como se puede ver, hoy en nuestros días, la computación tiene una influencia directa dentro del análisis estructural, cualquier cambio en este repercutiría en gran forma en el futuro de la Ingeniería Civil.

# CAPITULO 3

## EL METODO DE HAN

#### A) GENERALIDADES

El método fue desarrollado a mediados de la década de los cincuenta por el Dr. Gaspar Mani, viiniendo a revolucionar el cálculo de estructuras de varios pisos.

Este método tiene la ventaja de que trabaja a la vez tanto el giro como el desplazamiento de los nudos. Su proceso es parecido al de Cross y utiliza el método iterativo de Gauss-Seidel en la solución del sistema de ecuaciones. El método de Gauss-Seidel implica que una incógnita se expresa como función de otras incógnitas, suponiéndole valores actuacionales para determinar el valor de la incógnita deseada. Si se consideran sólo los últimos valores de las incógnitas y se repite el ciclo de sustitución un número suficiente de veces, se encuentra el valor exacto de la solución.

El método se basa en su principio en las ecuaciones de pendiente desviación, a partir de las cuales se desprende y desarrolla para enunciar sus propias ecuaciones.

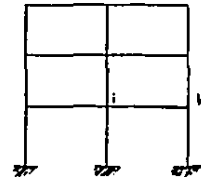
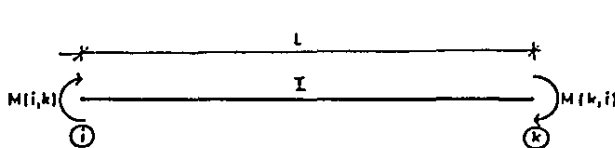
Fue diseñado especialmente para resolver marcos de muchos pisos con carga lateral como a continuación se verá en la deducción.

## REDUCCIÓN DEL MÉTODO

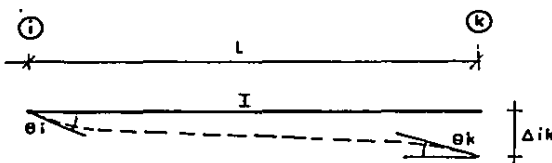
### a) Ecuaciones de Pendiente Desviación.

El Método de Mani para su demostración tiene como origen las ecuaciones de pendiente desviación, que a continuación deduciremos por medio del método de la viga encajada.

Se considera la siguiente barra  $i, k$ , que pertenece a un marco rígido cualquiera.



Las deformaciones a las que puede estar sujeta esta barra, por las diferentes fuerzas internas e externas actuando en el marco son las siguientes:

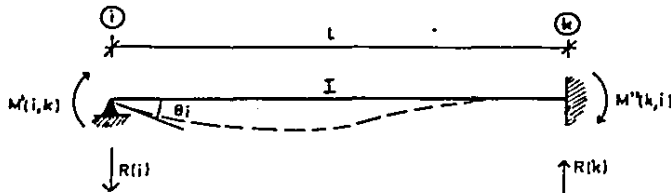


Para el desarrollo de las ecuaciones tomaremos las siguientes convenciones de signos:

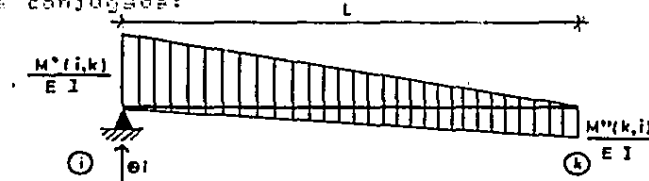
- Son momentos positivos en los extremos de las barras los que tengan giro horario.
- La rotación en los extremos de las barras será positiva cuando la tangente de la curva deformada en su extremo haya girado en sentido horario con respecto a su posición inicial.
- La traslación de un extremo de la barra con respecto al otro, será positiva cuando el giro de la barra completa haya sido en el sentido horario.

Los momentos  $M(i,k)$  y  $M'(k,i)$  (que se llaman momentos en los extremos de las barras) son los que nos interesa conocer y se pueden descomponer en la suma de 4 efectos diferentes.

- 1- El momento debido a  $\Theta_i$  en "i" mientras "k" está empotrado. Su valor lo deducimos a continuación:



Viga conjugada:



$$\sum M(i) = 0$$

$$\left( \frac{M^*(i,j,1)*L}{2EI} \right) \left( \frac{L}{2} \right) - \left( \frac{M^*(i,j,1)*L}{2EI} \right) \left( \frac{L}{2} \right) = 0$$

$$\frac{M^*(i,j,1)*L^2}{6EI} = \frac{M^*(i,j,1)*L^2}{4EI} = 0$$

$$(1/2)*M^*(i,j,1) = M^*(i,j,1)$$

$$\sum F_y = 0$$

$$\left( \frac{M^*(i,j,1)}{EI} \right) \left( \frac{L}{2} \right) - \Theta i - \left( \frac{M^*(i,j,1)}{EI} \right) \left( \frac{L}{2} \right) = 0$$

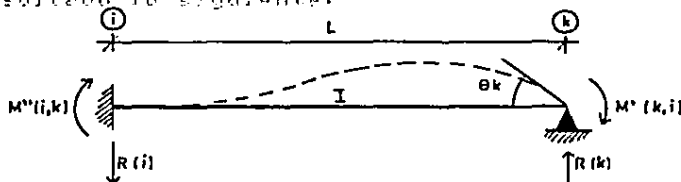
$$\frac{M^*(i,j,1)*L}{2EI} = \frac{M^*(i,j,1)*L}{4EI} = \Theta i$$

$$\frac{M^*(i,j,1)*L}{3EI} = \Theta i \quad (2) \quad (2) \cdot (1/2) = (4/3) \cdot (1/2) \Theta i$$

$$M^*(i,j,1) = (4/3) \cdot (1/2) \Theta i$$

$$M^*(i,j,1) = (2/3) \cdot E I / L \cdot \Theta i$$

2- El momento debido a  $\Theta k$  en "i" mientras "j" esté empotrado.  
El análisis se identifica al anterior, lo cual dará como resultado lo siguiente:

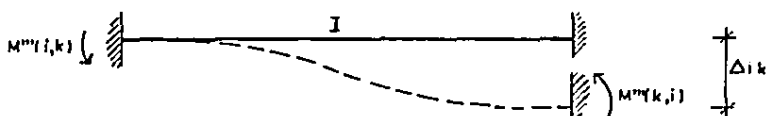
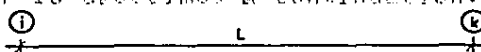


$$\therefore \quad M^*(i,j,1) = (2/3) \cdot E I / L \cdot \Theta k$$

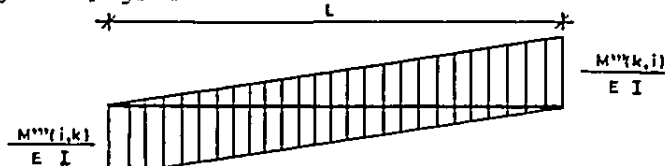
$$M^*(i,j,1) = (2/3) \cdot E I / L \cdot \Theta k$$

3- El momento debido a la fricción entre los dos extremos de la barra, pero sin que existe rotación en éstos.

Su valor lo deducimos a continuación:



Viga conjugada:



$$\sum F_y = 0$$

$$-\left(\frac{M''''(i,i,1)}{E \cdot I}\right)\left(\frac{1}{2}\right) + \left(\frac{M''''(i,i,1)}{E \cdot I}\right)\left(\frac{1}{2}\right) = 0$$

$$M''''(i,i,1) = M''''(k,k,1)$$

$$\sum M(i,i) = 0$$

$$-\left(\frac{M''''(i,i,1)}{E \cdot I}\right)\left(\frac{1}{2}\right) + \left(\frac{M''''(i,i,1)}{E \cdot I}\right)\left(\frac{1}{2}\right) + \Delta_{ik} = 0$$

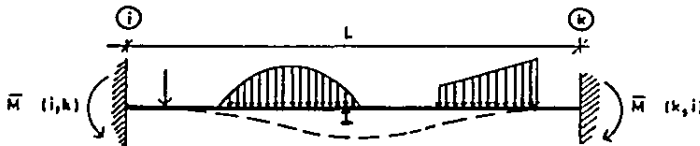
$$\Delta_{ik} = \frac{M''''(i,i,1) \cdot L^2}{8 \cdot E \cdot I} - \frac{M''''(k,k,1) \cdot L^2}{8 \cdot E \cdot I} = \frac{M''''(i,i,1) \cdot L^2}{8 \cdot E \cdot I}$$

Se les añade signo negativo porque son antihorarias.

$$M''''(i,i,1) = -C_0 \cdot E \cdot I \cdot L^2 \cdot \Delta_{ik}$$

$$M''''(k,k,1) = -C_0 \cdot E \cdot I \cdot L^2 \cdot \Delta_{ki}$$

• Los momentos debidos a las cargas actuantes en las barras sin provocar rotaciones en los extremos.



Estos se obtienen de tablas ya elaboradas con las cargas más comunes y se les llama "momentos de empotramiento perfecto".

Le sume algebraica de estos 4 efectos nos da los momentos totales en los extremos de las barras,

$$M(i,k) = M^*(i,k) + M^0(i,k) + M'''(i,k) + \overline{M}(i,k)$$

$$M(k,i) = M^*(k,i) + M^0(k,i) + M'''(k,i) + \overline{M}(k,i)$$

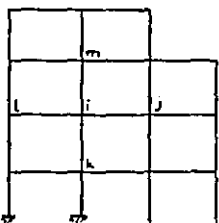
desarrollando,

$$M(i,k) = (4 \cdot E \cdot I/L)\theta_i + (2 \cdot E \cdot I/L)\theta_k + (6 \cdot E \cdot I/L)^2 \cdot \Delta_{ik} + \overline{M}(i,k)$$

$$M(k,i) = (4 \cdot E \cdot I/L)\theta_k + (2 \cdot E \cdot I/L)\theta_i + (6 \cdot E \cdot I/L)^2 \cdot \Delta_{ki} + \overline{M}(k,i)$$

b) Método de Kani sin desplazamiento lateral.

Para simplificar la deducción del método utilizaremos el marco que a continuación se muestra.



Primero supondremos que no existen desplazamientos o sea  $\Delta=0$  e incluiremos en la ecuación:

$$M^m(i,i)=0$$

$$M^m(i,j)=2*MM(i,j)$$

quedando como sigue para el caso de la barra  $(i,j)$ :

$$M(i,j)=\bar{M}(i,j) + 2*MM(i,j) + M^m(i,j)$$

donde:

$M(i,j)$ =Momento en el extremo "i" de la barra  $(i,j)$ .

$\bar{M}(i,j)$ =Momento en el extremo "i" de la barra  $(i,j)$  debido a las cargas.

$2*MM(i,j)$ =Momento en el extremo "i" de la barra  $(i,j)$  debido a un giro  $\Theta$  mientras "i" este empotrado (Momento flector lado cercano).

$M^m(i,j)$ =Momento en el extremo "i" de la barra  $(i,j)$  debido a un giro  $\Theta$  mientras "i" este empotrado (Momento flector lado lejano).

Procederemos a hacer suma de momentos en el nudo "i".

Según la ecuación de equilibrio  $\sum(i,j)=0$

$$M(i,i)=\bar{M}(i,i) + 2*MM(i,i) + M^m(i,i)$$

$$M(i,j)=\bar{M}(i,j) + 2*MM(i,j) + M^m(i,j)$$

$$M(i,k)=\bar{M}(i,k) + 2*MM(i,k) + M^m(i,k)$$

$$M(i,m)=\bar{M}(i,m) + 2*MM(i,m) + M^m(i,m)$$

$$0 = \bar{M}(i,i) + 2* \sum_m MM(i,m) + \sum_n M^m(i,n)$$

$$-2 \sum_m M^m(i,m) = \bar{M}(i,i) + \sum_n M^m(i,n)$$

$$\sum_n M^m(i,n) = -E \bar{M}(i,i) + \sum_n M^m(i,n) 1/2$$

Esta última fórmula es la base del método y cambiara un poco conforme vayamos lo concerniente a desplazamientos laterales.

La fórmula se puede describir con palabras como sigue:  
 La suma de los momentos de empotramiento ( $M_{(i)}$ ) de un nudo, más la suma de los momentos flectores de los lados lejanos de las barras concurrentes al mismo nudo, es igual a la suma de los momentos flectores del lado cercano.

La suma de los momentos flectores en los lados cercanos de las barras se repartirán proporcionalmente a las rigideces de estos o sea:

$$M''(k,i) = E R(k,i) / \sum_{n=1}^N R(n,i) \sum_{m=1}^M M''(m,i)$$

$$M''(l,i) = E R(l,i) / \sum_{n=1}^N R(n,i) \sum_{m=1}^M M''(m,i)$$

etc.

donde,

$$R(k,i) = R(l,i) = \text{Rigidez de la barra } (i,k)$$

$\sum R(i)$  = Sumatoria de las rigideces de las barras que  
 "i" concurren en el nudo.

Para simplificar el reparto de los momento en cada barra, se calcula lo que se llama el "Coeficiente de reparto" como a continuación se muestra:

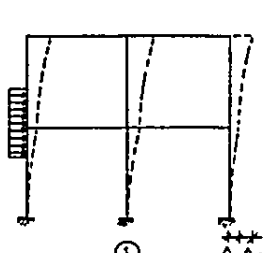
$$M(i,k) = (-.5) * R(k,i) / \sum_{n=1}^N R(n,i)$$

quedando la ecuación principal así:

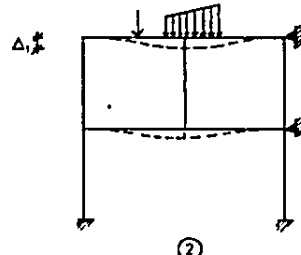
$$M''(k,i) = M(i,k) * E R(k,i) + \sum_{m=1}^M M''(m,i)$$

### c) Método de Kani con desplazamiento.

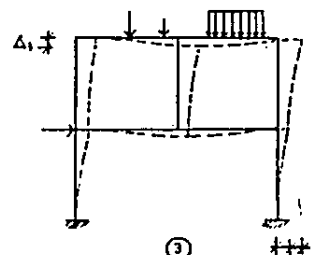
En las demostraciones anteriores suponíamos que la estructura no tenía desplazamiento, vamos ahora a considerar que estos si existen. Los cuales que a continuación se muestran tienen diferentes tipos de movimientos que encontraremos comúnmente en estructuras reales.



DESPLAZAMIENTO HORIZONTAL

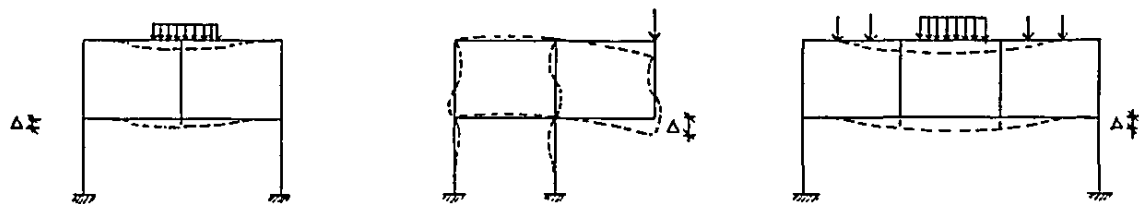


DESPLAZAMIENTO VERTICAL



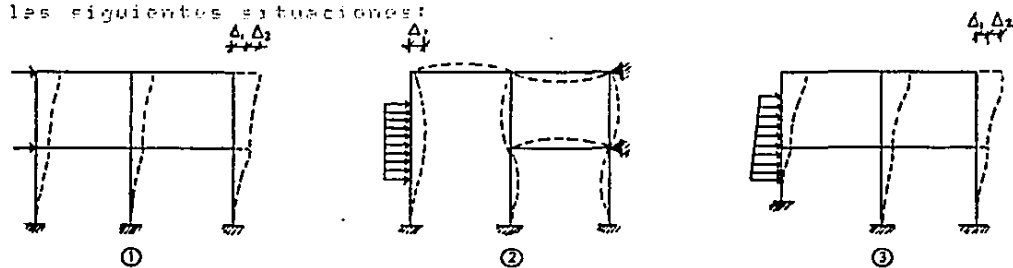
DESPLAZAMIENTO HORIZONTAL Y VERTICAL

De los casos que vimos en la página anterior, nos concentraremos en el primero ya que es el más común de todos y para el que fue hecho especialmente el método de Rani. Los problemas con desplazamientos verticales exigen que se hagan modificaciones sustanciales al método para cada caso en especial de estructura lo que complicaría el cálculo, quitandole su principal ventaja a este método que es la sencillez. Por ejemplo no se puede establecer un método común para los siguientes casos,



ya que es muy difícil calcular que porcentaje de fuerza lateral absorbe cada barra cuando se desplazan en forma vertical.

En el caso de desplazamientos horizontales podemos contemplar las siguientes situaciones:



El primero y el tercero caso se contemplan dentro de los que se pueden resolver por el método de Rani, mientras que el segundo está fuera del alcance de éste, ya que no cumple con una de las restricciones que más adelante veremos y que dice que todas las columnas de un piso se deben desplazar horizontalmente en la misma magnitud.

Comenzaremos por la fórmula general,

$$M_{i,j,k} = \bar{M}_{i,j,k} + \Sigma M^H(i,j) + M^H_{i,j,k} + M^{HH}_{i,j,k} \leftarrow$$

Momento debido al desplazamiento

Si hacemos sumatoria de momentos nos quedará,

$$\sum M(i,j) = 0$$

$$0 = \bar{M}(i,j) + \Sigma_m \sum_n M^H(m,n,j) + \sum_m M^H(m,i,j) + \sum_n M^{HH}(i,n,j)$$

Despejando nos quedará,

$$\sum_{n=1}^N M^H(i_n, i) = -E \bar{M}(i) + \sum_{n=1}^N M^H(i, n) + \sum_{n=1}^N M^{HH}(i, n) \quad 1/2$$

Para una barra individual la fórmula general será:

$$M^H(i_k, i) = M(i_k, i) + E \bar{M}(i) + \sum_{n=1}^N M^H(i, n) + \sum_{n=1}^N M^{HH}(i, n) \quad 1$$

Como se vé, la fórmula no tuvo cambios sustanciales, pero ahora tendremos que deducir la ecuación para calcular los momentos debidos a los desplazamientos.

Para poder calcular éste, haremos uso del siguiente esquema donde se muestran las fuerzas laterales actuantes y las constantes que las contrarrestan.

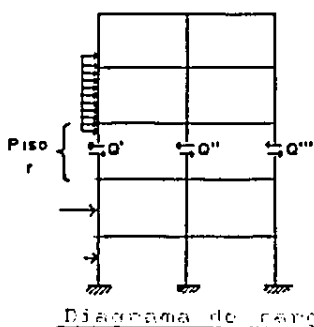


Diagrama de cargas

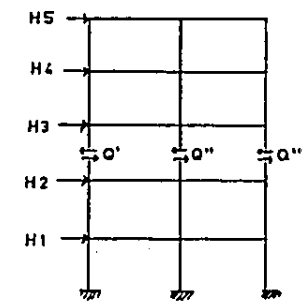


Diagrama de Fuerzas de Fijación

Hacemos un corte en el piso "r" y  $\sum F_y = 0$

$$H_5 + H_4 + H_3 = 0' + 0'' + 0'''$$

$$\sum_{i=1}^N H(i) = \sum_{n=1}^N D_n$$

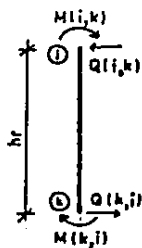
O sea, que la suma de las fuerzas constantes en todas las columnas del piso "r" es igual a la suma de las fuerzas horizontales  $H$  que actúan en los nudos por encima del piso "r".

A la suma de todas las fuerzas  $H$  por encima del piso "r" le llamaremos  $Or$ .

$$\sum_i H(i) = Or$$

Donde  $Or$  variará dependiendo del piso en que se corte el marco.

Los esfuerzos cortantes dependerán de los momentos en los extremos de las columnas del piso que se corte.



Para una columna:

$$Q(i,k) = - \frac{M(i,k) + M(k,i)}{hr}$$

Para todas las columnas:

$$Q_r = - \sum_i \left( \frac{M(i,k) + M(k,i)}{hr} \right) \quad hr * Dr = - \sum_i (M(i,k) + M(k,i))$$

$$hr * Dr = \sum_k - [M(i,k) + 2*M''(k,i) + M''(i,k) + M'''(i,k) + M''(k,i) + M'''(k,i)]$$

Hacemos  $M(i,k) + M(k,i) = \bar{M}_r$  = Momento de desequilibrio  
 $M'''(i,k) = M'''(k,i)$

$$hr * Dr = \sum_k (-\bar{M}_r + 2*M''(k,i) + 2*M''(i,k) + 2*M'''(i,k))$$

$$\sum_k M'''(i,k) = - \frac{\bar{M}_r}{2} \left[ \frac{hr * Dr}{hr} + \frac{\bar{M}_r}{hr} + \sum_k (M''(k,i) + M''(i,k)) \right]$$

De esta fórmula, el siguiente término será constante para toda la iteración, y se le llama "Momento de piso" del piso "r" y se designa por  $\bar{M}_r$ .

$$\frac{hr * Dr + \sum_k \bar{M}_r}{hr} = \frac{hr * Dr + \sum_k \bar{M}_r}{hr} = \frac{hr * Dr + \sum_k \bar{D}_r}{hr}$$

Para facilitar la comprensión de este término hacemos,

$$\bar{D}_r = Dr + \sum_k \bar{D}_k$$

Al término " $\bar{D}_r$ " se le puede definir como la suma de todas las cargas laterales que fueron transportadas a los nudos como reacciones de empotramiento perfecto por encima del piso "r".

$$\text{O sea, } \bar{M}_r = \frac{\bar{D}_r * hr}{hr}$$

Donde  $\bar{M}_r$  = Momento de piso del piso "r".

$\bar{D}_r = \sum$  de todas las cargas laterales transportadas a los nudos como reacciones de empotramiento perfecto por encima del piso "r"

$hr$  = Altura del piso "r".

La fórmula general quedará entonces así:

$$\sum_k M'''(i,k) = (-1.5) * \bar{M}_r + \sum_k (M''(k,i) + M''(i,k)) > 0$$

que significa que la suma de los momentos debidos al giro en los extremos de todas las columnas de un piso "r", más su respectivo Momento de piso, es proporcional a la suma de los momentos debidos al desplazamiento de dichas columnas.

Esta sumatoria de momentos debidos al desplazamiento se repartirá entre las columnas del piso proporcionalmente a sus rigideces.

$$M''(i,r) = E R(i,r) / \sum_r R(r) \sum_i M''(i,r)$$

etc.

donde,

$R(i,r)$  = Rigidad de la barra  $(i,r)$ .

$\sum_r R(r)$  = Sumatoria de las rigididades de las barras que son columnas en el piso "r".

Para simplificar el reparto del momento en cada columna, se calcula lo que se llame al "Factor de Coeficiente", tanto a continuación se muestra:

$$V(i,r) = (-1)^{i+r} R(i,r) / \sum_r R(r)$$

quedando la fórmula gral. así,

$$M''(i,r) = V(i,r) R(i,r) + \sum_r V(i,r) M''(i,r) + M''(i,r) / 2$$

d) Columnas de diferente altura en el piso inferior.

La existencia de columnas con diferente altura en el piso inferior no modifica los valores de los coeficientes de reparto y las influencias de dicho giro, solamente las influencias del desplazamiento experimental varían.

Emperemos por anunciar la fórmula que viene anteriormente:

$$M''(i,r) = (-1)^{i+r} \frac{R(i,r)}{3} + (-1)^{i+r+1} M''(i,r) + M''(i,r) / 2$$

$$\frac{1}{3} R(i,r) + M''(i,r) + (-1)^{i+r+1} M''(i,r) + M''(i,r) / 2$$

En el caso de pisos con columnas de igual altura,

$$1/3 = h(i,r) = h(i,r) = \text{etc.}$$

Pero en este caso se debe tomar de "h(i,r)" como la altura de todas las columnas del piso "r", cosa que se utilizará como una cantidad ficticia que resulta engañosa, y que será la altura que más figure en las columnas de ese piso. Se utilizará mientras tanto la altura h(i,r) de cada columna.

$$\sum_r \frac{M''(i,r)}{h(i,r)} = - \frac{1}{3} \left[ \frac{R(i,r)}{h(i,r)} + \sum_r \frac{M''(i,r)}{h(i,r)} + M''(i,r) / 2 \right]$$

Multiplicando todo la ecuación por nuestra altura ficticia "hr" resultará:

$$\sum \frac{M''(i,k)*C(i,hr)}{h(i,k)} = -\frac{1}{E} \left[ \frac{\bar{M}_r \cdot hr}{E} + \sum \frac{(M''(i,i) + M''(k,i)) * hr}{h(i,k)} \right]$$

Llamarémos,

$hr$  = altura ficticia.

$h(i,k)$  = altura de la columna  $(i,k)$ .

$$\frac{hr}{h(i,k)} = C(i,k) = \text{Factor de Reducción de } h(i,k) \text{ a columna } (i,k).$$

La ecuación cambia a,

$$\sum M''(i,k)*C(i,k) = (-1 \cdot E) * \bar{M}_r + \sum C(i,k)*C(i,k)*M''(i,i) + M''(k,i) \rightarrow 0$$

Al desplazarse transversalmente el piso, es evidente que todas las cabezas de las columnas se desplazan en un mismo valor " $\Delta$ ". Las influencias del desplazamiento dependen, por lo tanto únicamente de " $\Delta$ " y de la relación

$$\frac{R(i,k)}{h(i,k)}$$

o bien de " $\Delta$ " y la relación

$$C(i,k)*R(i,k)$$

resultante de ello la relación

$$\frac{M''(i,i)}{\sum C(i,k)*M''(i,k)} = \frac{C(i,i)+R(i,k)}{\sum C(i,k)*[C(i,k)*R(i,k)]}$$

y expresando el valor del Factor de corrimiento en una forma más general obtenemos,

$$V(i,k) = \frac{(-1 \cdot E) + C(i,k)*R(i,k)}{\sum C(i,k)^2 + R(i,k)^2}$$

Substituyendo en la ecuación nos queda,

$$M''(i,k) = V(i,k) * (-E) + \sum C(i,k)*C(i,k)*M''(i,i) + M''(k,i) \rightarrow 0$$

que será nuestra ecuación final.

El proceso de cálculo se puede resumir paso por paso de la siguiente forma:

- Cálculo de las Rigidideces  $R(i,k)$  de cada una de las barras de la estructura.
- Cálculo de los Coeficientes de Reparto en cada una de las barras que dan a cada uno de los nodos.

La fórmula es  $\lambda(i,k) = \frac{R(i,k)}{R(i,i)}$

- Cálculo de Factores de Reducción para cada columna.

La fórmula es  $c(i,k) = \frac{h_k}{h(i,k)}$

En los pisos donde todas las columnas tienen la misma altura el factor de reducción será igual a 1.

- Cálculo de Factores de Corrimiento para cada columna.

La fórmula es  $v(i,k) = \frac{(c(i,k) + C(i,k)) * R(i,k)}{C(i,k)^2 + R(i,k)}$

En estructuras con una sola columna el factor de corrimiento de ésta será igual a -1.0.

- Cálculo de Momentos de Empotramiento Perfecto.

Los obtendremos por medio de fórmulas y con las cargas y claros que nos especifiquen.

- Cálculo de Momentos de Sujeción por nodo.

La fórmula es  $M(i) = \sum_m m(i,m) v$

- Cálculo de Reacciones de Empotramiento Perfecto.

Las obtendremos por medio de fórmulas y con las cargas y claros que nos especifiquen. Los dibujaremos como cargas puntuales en los nudos de la estructura.

- Cálculo de Momentos de Piso.

La fórmula es  $\bar{M}_v = \frac{\sum_m m(i,m) v}{n}$

- Proceso iterativo.

El proceso se divide en dos partes importantes, que son el cálculo de influencias de giro en cada uno de los nudos; y el cálculo de influencias por desplazamiento en cada piso. Estas dos partes comprenden una iteración completa, y debemos detener el proceso iterativo cuando los resultados entre un iteración y otra son casi iguales.

Las fórmulas son las siguientes:

- Cálculo de influencias por giro en los nudos:

$$m^g(i',i) = \lambda(i',k) * M_{ip} + \sum_n m^g(i,n) + \sum_s m^{gg}(s,n) ]$$

2) Cálculo de influencias por desplazamiento en plante\*

$$M^{**}(i,j,k) = M(i,j,k) \cdot R + \sum_{l} C(i,l,k) \cdot M^*(i,l,k) + M^*(i,j,k)$$

3) Cálculo de Momentos finales.

Una vez que hayamos hecho suficientes iteraciones y que los resultados obtenidos en las últimas ya no varíen, procederemos a calcular los momentos finales.

La fórmula es:

$$M(i,j,k) = \bar{R}(i,j,k) + C \cdot M^*(i,j,k) + M^*(i,j,k) + M^{**}(i,j,k)$$

### C) ALCANCES Y LIMITACIONES

Este método tiene ciertas características que lo distinguen enormemente de los demás métodos. Para entenderlo mejor enumaremos las ventajas y desventajas del mismo:

#### Ventajas:

- Proporciona la solución más sencilla para la resolución de marcos de varios pisos.
- Es más rápido.
- La exactitud de los resultados, depende de las iteraciones que queramos hacer.
- El proceso de cálculo es muy repetitivo, por lo que se puede manejar en computadora.
- A diferencia de otros métodos, éste considera al mismo tiempo los desplazamientos y los giros durante el cálculo.
- Es un método correctivo, ya que si cometemos algún error, éste mismo se eliminará en las siguientes iteraciones.
- Para el caso de que deban variarse los tipos de carga o la sección de las barras posteriormente al cálculo efectuado, no es necesario volver a empezar el mismo, sólo anotar los cambios y repetirlos únicamente en partes.
- Con pocos cambios este método se puede hacer extensivo para estructuras con barras de sección variable y para que acepte rigideces modificadas.

#### Desventajas:

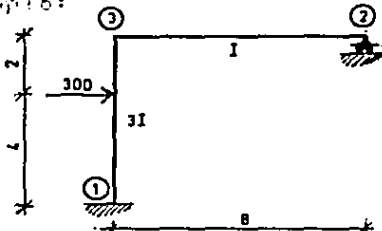
- La desventaja principal de este método reside en las limitaciones que tiene para resolver estructuras de diversos tipos, ya que éste hecho para que se cumplan las siguientes condiciones:

- a) Las barras deben ser de sección constante.
- b) Sólo se aceptan barras verticales y horizontales.
- c) No se aceptan vigas intermedias.
- d) Los nudos deben ser de tipo rígido.
- e) No se aceptarán desplazamientos verticales.
- f) Los desplazamientos horizontales serán los mismos para las columnas de un piso dado.
- g) Las columnas de un piso tendrán la misma altura, excepto en el primer piso donde si se aceptarán diferentes alturas.

Como se observa, el campo de acción dentro de los diferentes tipos de estructuras es muy limitado para este método, pero dentro de su radio de acción tiene enormes ventajas que lo hacen muy superior a los demás métodos.

### DE EJEMPLO PRÁCTICO

Para la mejor comprensión del método vamos a resolver el siguiente ejemplo:



Para el cálculo se seguirán los pasos como se explicaron en la parte anterior.

a) Cálculo de Rigididad ( $R$ ):

Suponemos  $I=3$

$$R(1,3) = R(3,1) = \frac{3 \cdot I}{L} = \frac{3 \cdot 8}{8} = 3$$

$$R(2,3) = R(3,2) = \frac{I}{L} = \frac{8}{8} = 1$$

b) Cálculo de Coeficientes de Reparto ( $M$ ):

Nudo 1

$$\sum R(1) = R(1,3) = 3$$

$M(1,3) = 0$  (ya que el empotramiento absorbe todo)

Nudo 2

$$\sum R(2) = R(2,3) = 1$$

$$M(2,3) = \frac{R(2,3)}{\sum R(2)} (-1.5) = \frac{1}{1} (-1.5) = -1.5$$

Nudo 3

$$\sum R(3) = R(3,1) + R(3,2) = 3 + 1 = 4$$

$$M(3,1) = \frac{R(3,1)}{\sum R(3)} (-1.5) = \frac{3}{4} (-1.5) = -1.125$$

$$M(3,2) = \frac{R(3,2)}{\sum R(3)} (-1.5) = \frac{1}{4} (-1.5) = -0.375$$

c) Cálculo de Factores de Reducción ( $C$ ):

$$C(1,3) = \frac{6}{6} = 1 \quad (\text{Ya que tenemos una sola columna})$$

d) Cálculo de Factores de Corriente ( $V$ ):

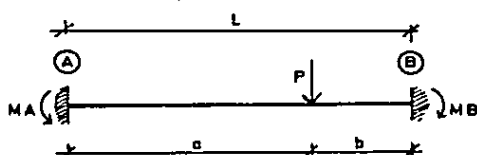
$$\sum R(1) = R(1,3) = 3 \quad (\text{La fórmula se reduce ya que } C(1,3)=1)$$

$$V(1,3) = (-1.5) \frac{R(1,3)}{\sum R(1)} = (-1.5) \frac{3}{4} = -1.125$$

e) Cálculo de Momentos de Empotramiento Perfecto:

Como la barra (1,3) es la única cargada, entonces todas las demás tendrán momentos iguales a cero.

Barra (1,3)



Momentos

$$M_A = -\frac{P \cdot \frac{a}{L} \cdot \frac{b}{L}^2}{1-\frac{2}{3}} = -\frac{300 \cdot \frac{2}{3} \cdot \left(\frac{1}{3}\right)^2}{1-\frac{2}{3}} = -133.33$$

$$M_B = -\frac{P \cdot \frac{b}{L} \cdot \frac{a}{L}^2}{1-\frac{2}{3}} = -\frac{300 \cdot \left(\frac{1}{3}\right) \cdot \left(\frac{2}{3}\right)^2}{1-\frac{2}{3}} = 266.67$$

$$\bar{M}_{(1,3)} = -133.33$$

$$\bar{M}_{(3,1)} = 266.67$$

$$\bar{M}_{(2,3)} = 0$$

$$\bar{M}_{(3,2)} = 0$$

f) Cálculo de Momentos de sujeción:

Nudo 1

$$\bar{M}_{(1)} = \bar{M}_{(1,3)} = -133.33$$

Nudo 2

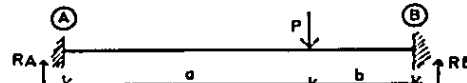
$$\bar{M}_{(2)} = \bar{M}_{(2,3)} = 0$$

Nudo 3

$$\bar{M}_{(3)} = \bar{M}_{(3,2)} + \bar{M}_{(3,1)} = 0 + 266.67 = 266.67$$

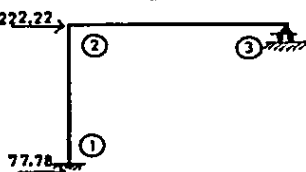
g) Cálculo de reacciones de Empotramiento Perfecto:

Barra (1,3)



$$R(A) = P \cdot \frac{b}{L} \cdot \frac{a}{L}^2 \cdot (1 + 2 \cdot \frac{a}{L}) = 300 \cdot \frac{2}{3} \cdot \frac{1}{3}^2 \cdot (1 + 2 \cdot \frac{4}{6}) = 222.22$$

$$R(B) = P \cdot \frac{a}{L} \cdot \frac{b}{L}^2 \cdot (1 + 2 \cdot \frac{b}{L}) = 300 \cdot \frac{4}{6} \cdot \frac{1}{3}^2 \cdot (1 + 2 \cdot \frac{2}{6}) = 77.78$$

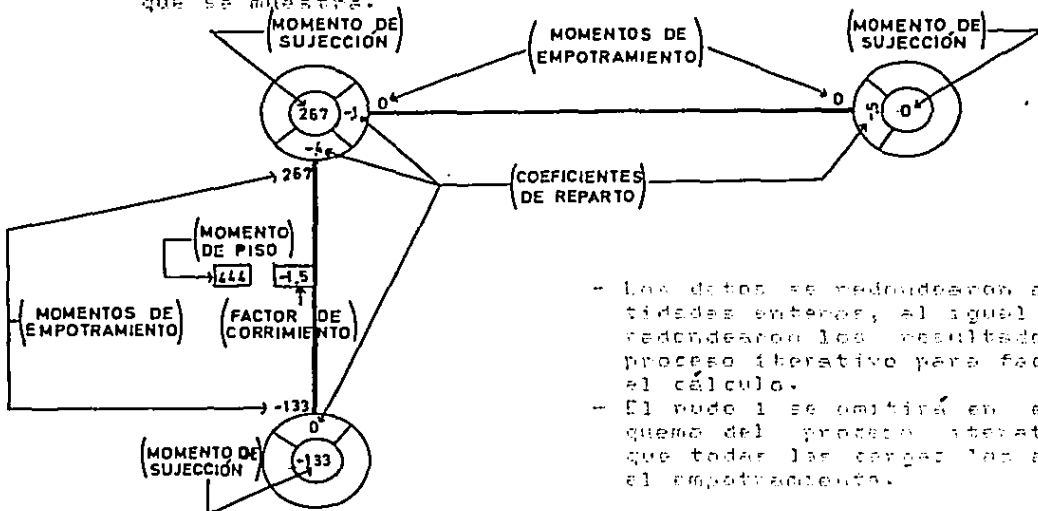


h) Cálculo de Momentos de Rizo (Mr):

$$Mr_{(1)} = \frac{222.22 \cdot 6}{3} = 444.44$$

i) Planteamiento inicial:

Para el cálculo se utilizará el esquema que se muestra abajo, el cual representa la forma geométrica de la estructura y facilita el proceso iterativo. Los datos tendrán el siguiente que se muestra.



- Las cargas se redondearon a cantidades enteras, al igual que se redondearon los resultados del proceso iterativo para facilitar el cálculo.
- El nudo 1 se omitirá en el esquema del proceso iterativo ya que todos los cargas son absorbidas el empotramiento.

e) Proceso Iterativo:

Se explicará el proceso de 2 iteraciones completas y después se seguirá trabajando con el esquema exclusivamente.

Podemos empezar con cualquier nudo o paso según nos convenga. Redondearemos todos los resultados en tres decimales.

Iteración 1

Nudo 3

Paso 1

$$\sum \text{Momentos lejanos} + \text{Momento de sujeción} = 0 + 267 = 267$$

Paso 2

Reparto de la sumatoria

$$\text{Barra } (3,1) \quad 267 (-0.4) = -107$$

$$\text{Barra } (3,2) \quad 267 (-0.1) = -27$$

Nudo 2

Paso 1

$$\sum \text{Momentos lejanos} + \text{Momento de sujeción} = -27 + 0 = -27$$

Paso 2

Reparto de la sumatoria

$$\text{Barra } (2,3) \quad -27 (-0.5) = 13.5$$

Nudo 1

Se omite, pues cualquier operación dará como resultado cero.

Piso 1

Paso 1

$$\sum \text{Momentos en los extremos} + \text{Momento de Piso} = -107 + 444 = 337$$

Paso 2

Reparto de la sumatoria

$$\text{Barra } (1,3) \quad 337 (-1.5) = -506$$

Iteración 0

Nudo 3

Paso 1

$$\sum \text{Momentos lejanos} + \text{Momento de sujeción} = 14 - 506 + 267 \\ = -225$$

Paso 2

Reparto de la Sumatoria

$$\text{Barra } (3,1) \quad -225 (-.4) = 90$$

$$\text{Barra } (3,2) \quad -225 (-.1) = 23$$

Nudo 2

Paso 1

$$\sum \text{Momentos lejanos} + \text{Momento de sujeción} = 23 + 0 = 23$$

Paso 2

Reparto de la sumatoria

$$\text{Barra } (2,3) \quad 23 (-.5) = -12$$

Nudo 1

Se omite, pues cualquier operación dará como resultado cero.

Piso 1

Paso 1

$$\sum \text{Momentos en los extremos} + \text{Momento de piso} = 90 + 444 = 534$$

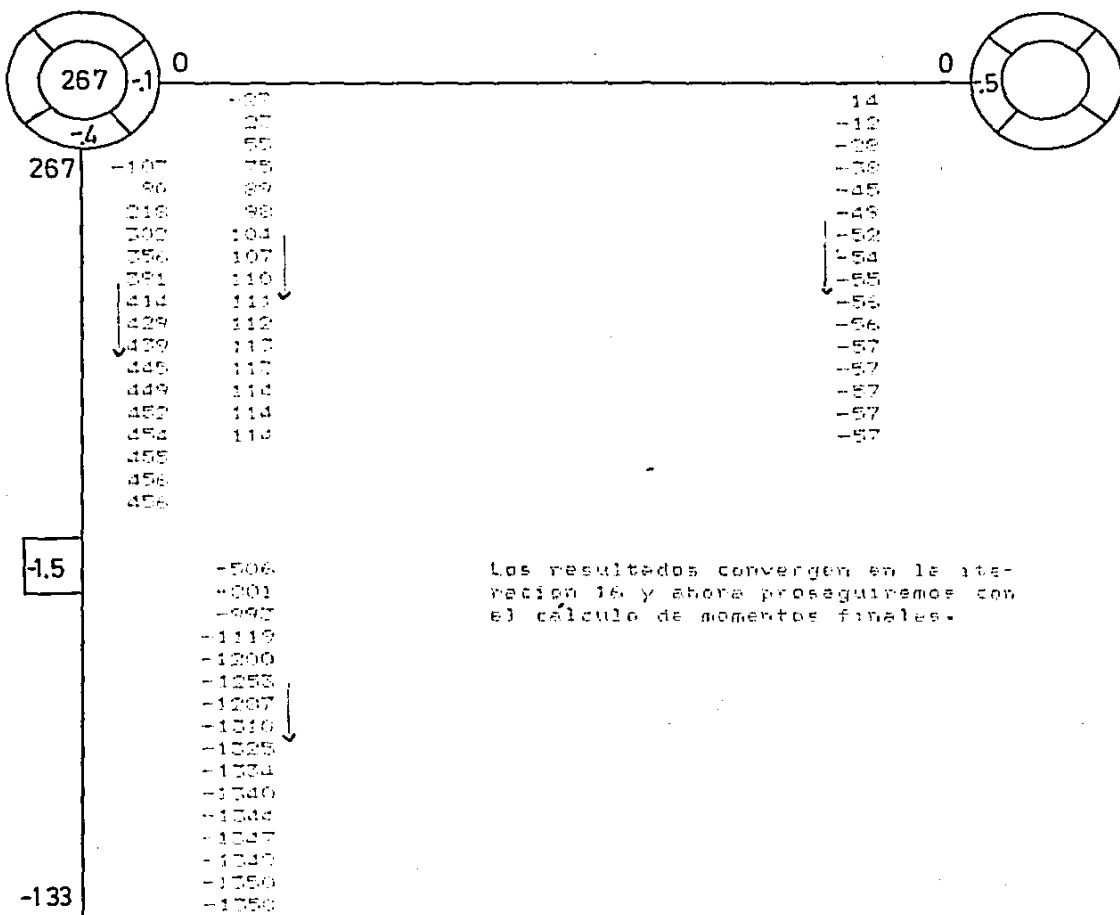
Paso 2

Reparto de la sumatoria

$$\text{Barra } (1,3) \quad 534 (-1.5) = -801$$

Iteraciones siguientes

Las iteraciones que siguen se llevarán a cabo directamente en el esquema, una vez que se entienda el proceso. El proceso se detendrá hasta que los resultados lleguen a la convergencia.



Los resultados convergen en la iteración 16 y ahora proseguiremos con el cálculo de momentos finales.

### f) Cálculo Momentos Finales

$$P(1,5) = -125 + \phi(2) = 1350 + 456 = -1027$$

$$M(5,1) = 267 + 25\epsilon_0(2) = 1350 + 0 \approx 1371$$

$$M(5,2) = 0 + 132 \cdot 0^2 + 0 = 57 \neq 171$$

$$N(2,5) = 0 + 57 \cdot 2^4 = 0 + 114 = 0$$

# CAPITULO

# ■

# PROGRAMA GENERAL DEL METODO DE HAN

### A) GENERALIDADES

Este capítulo comprende la parte mas importante de la tesis, ya que en éste se muestra el funcionamiento interno del programa, el diagrama de flujo, así como el listado del mismo.

Como se verá, el programa está escrito en lenguaje BASIC en su versión GWBASIC. Este lenguaje fue creado por John Lemay y Thomas Kurtz en Dartmouth College especialmente para personas que no deseaban especializarse mucho en computadoras, para que se quisieran utilizarlas. Dentro de varias razones es muy difícil que se profundice dentro del campo de la computación, es por eso que elegí este lenguaje para desarrollar el programa, pues es el de mas "fácil dominio y comprensión para todos los ingenieros civiles". Este programa está hecho especialmente para su uso en computadoras del tipo personal, ya sean PC o Ps.

Para la utilización del programa, se ha presentado el presente trabajo con un disco de Grabbed, y se debe saber que es necesario tener un disco del sistema operativo MS-DOS, o la versión que se tiene para poder utilizarlo. El disco contiene dos archivos que son:

MANT.BAS	20324 bytes
GWBASIC.PME	89004 bytes

El primero es el programa del método de Mant y el segundo es el lenguaje GWBASIC. Notese que la mayor parte del disco queda libre para grabar cualquier otro archivo que nosotras queramos.

## B) DIAGRAMA DE FLUJO

El funcionamiento y la secuencia lógica del programa quedan resumidos en el diagrama de flujo que a continuación se muestra. No tiene objeto hacerlo muy detallado, ya que sería tan extenso y complicado, que derivaría lo mismo tratar de comprenderlo en el texto que en el diagrama.

El programa se divide en 5 partes que se enumeran a continuación por orden de importancia:

1) Programa General: comprende las tres primeras hojas del diagrama, y es donde se lleva a cabo la lectura, cálculo y presentación de resultados. Tendrá el trámite normal de resolución de algún problema. Siempre estaremos dispuestos en esta sección a manejar algún error o problema salvo de ello.

2) Subrutina de corrección de errores: en caso de que hubiéramos dado datos ilógicos en condiciones o que hubiésemos cometido algún error, el programa general lo detectará y nos mandará automáticamente a esta sección, donde podremos corregir dichos errores y volver a la primera sección. La secuencia lógica de esta sección, la encontraremos en la cuarta hoja del diagrama.

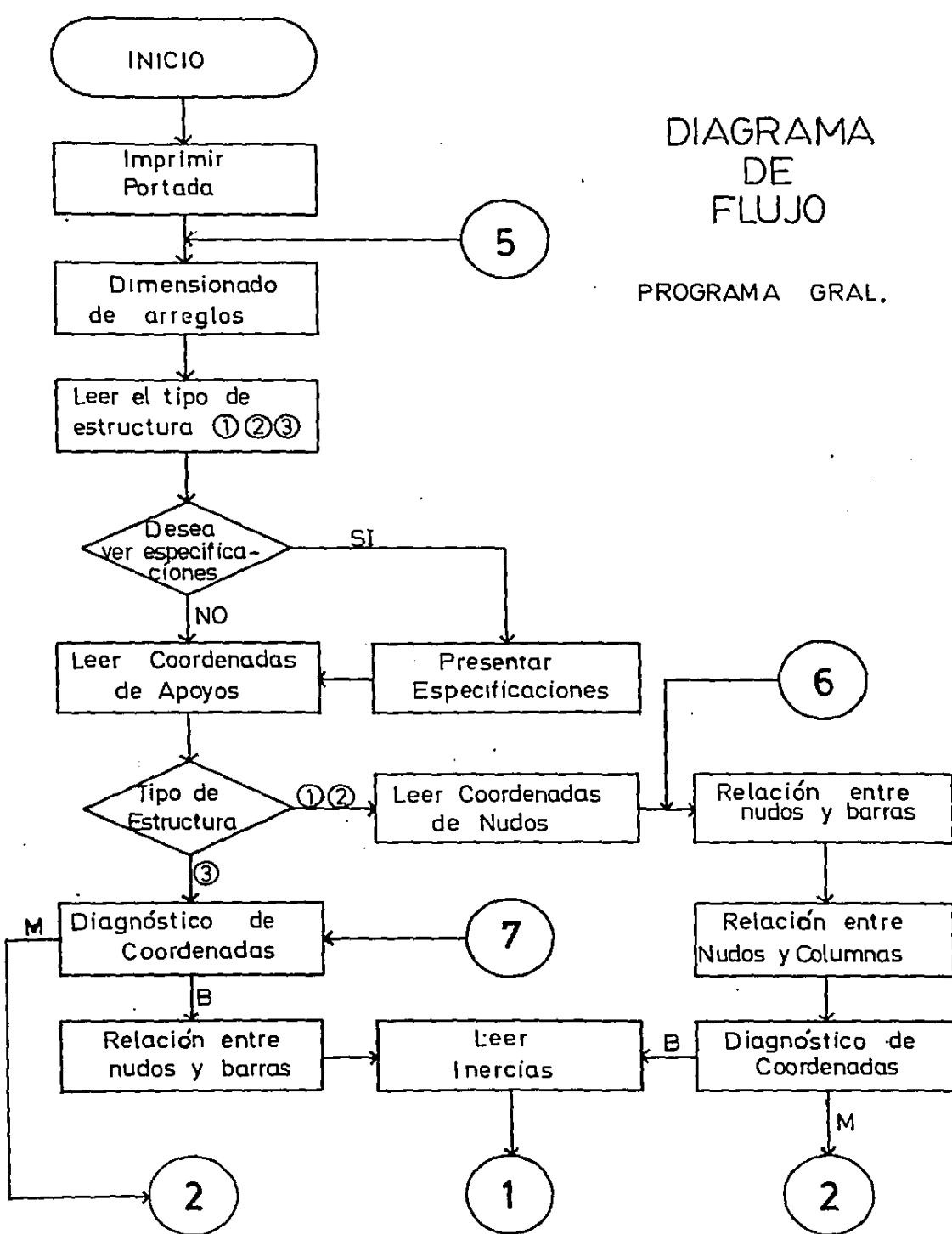
3) Subrutina de conversión de cáracteres: el comportamiento de la spontaneidad de entrar manualmente a este apartado, una vez que le demos todos los datos. Puedo decir que no podemos corregir, y hasta ésta podemos volver a la primera sección. Esta sección está comprendida en la quinta hoja del programa.

El computador decide algunas cosas automáticamente y otras las decidiremos nosotros dando el teclado. Las opciones que se tienen están escritas en forma de clave en el diagrama y se explican a continuación:

- I= La estructura que se está resolviendo es del tipo 1.
- O= La estructura que se está resolviendo es del tipo 2.
- C= La estructura que se está resolviendo es del tipo 3.
- RJ= Respuesta afirmativa a una pregunta.
- NO= Respuesta negativa a una pregunta.
- IN= Iniciar el programa de nuevo.
- FE= Finalizar y salir del programa.
- CO= Corregir los errores y volver a las condiciones.
- PR= Proseguir con el programa con las condiciones corregidas.
- PA= Los parámetros están bien según los diagnósticos.
- ME= Las condiciones están mal según los diagnósticos.
- UE= La lectura o el listado se hará en forma unívoca.
- TE= La lectura o el listado se hará en forma total.
- VP= Ver resultados en pantalla de nuevo.
- IR= Inversión de los lectos.
- ME= Momentos de empotriamiento.
- FC= Fuerzas centinela.
- MP= Momentos puros.
- NE= Ninguno.
- IP= Impresión de los datos.

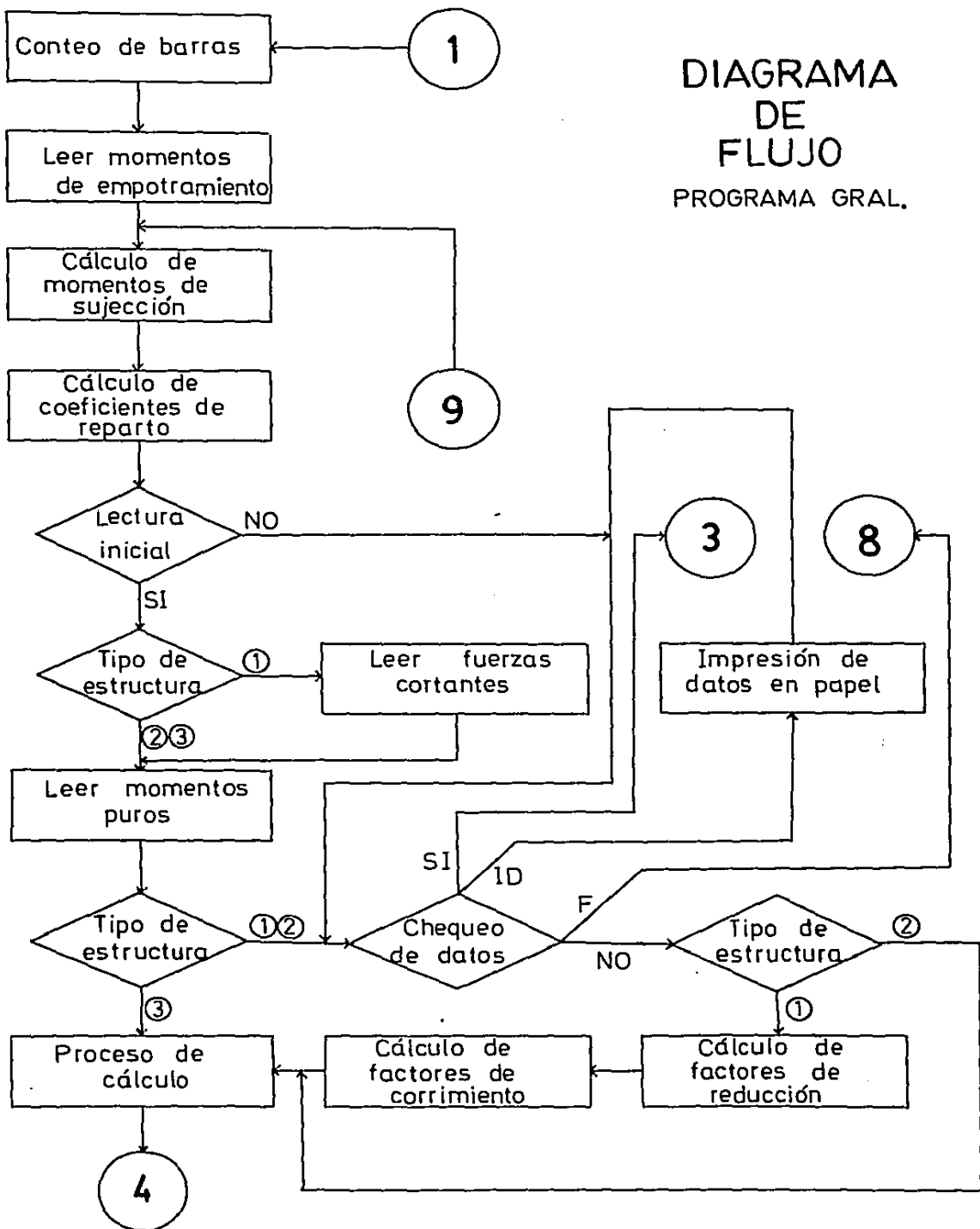
# DIAGRAMA DE FLUJO

PROGRAMA GRAL.



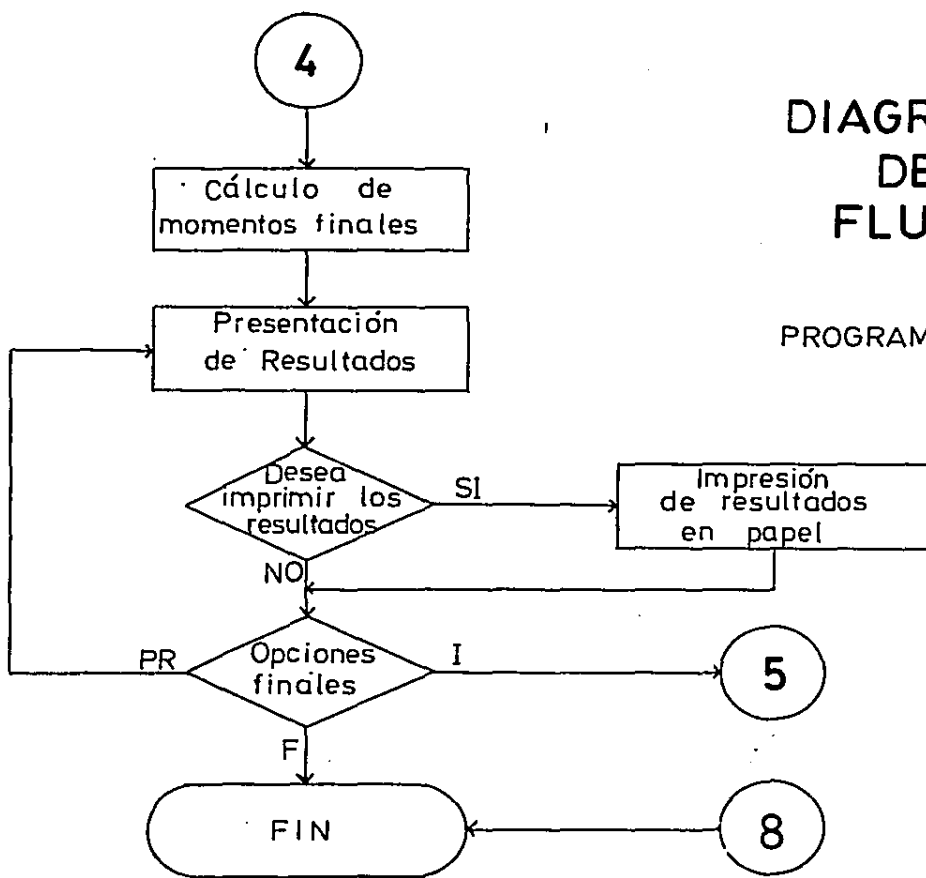
# DIAGRAMA DE FLUJO

PROGRAMA GRAL.

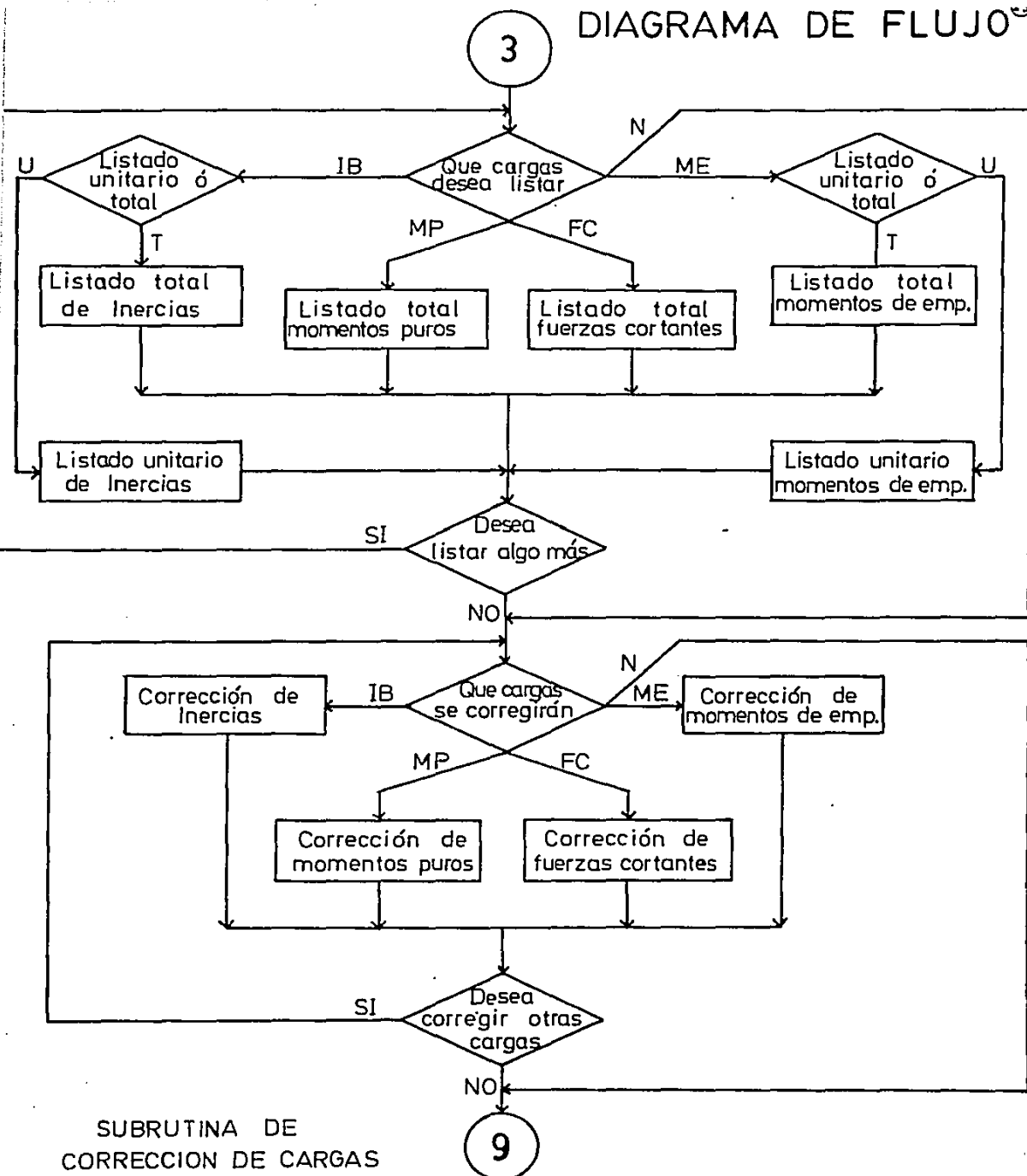


# DIAGRAMA DE FLUJO

PROGRAMA GRAL.

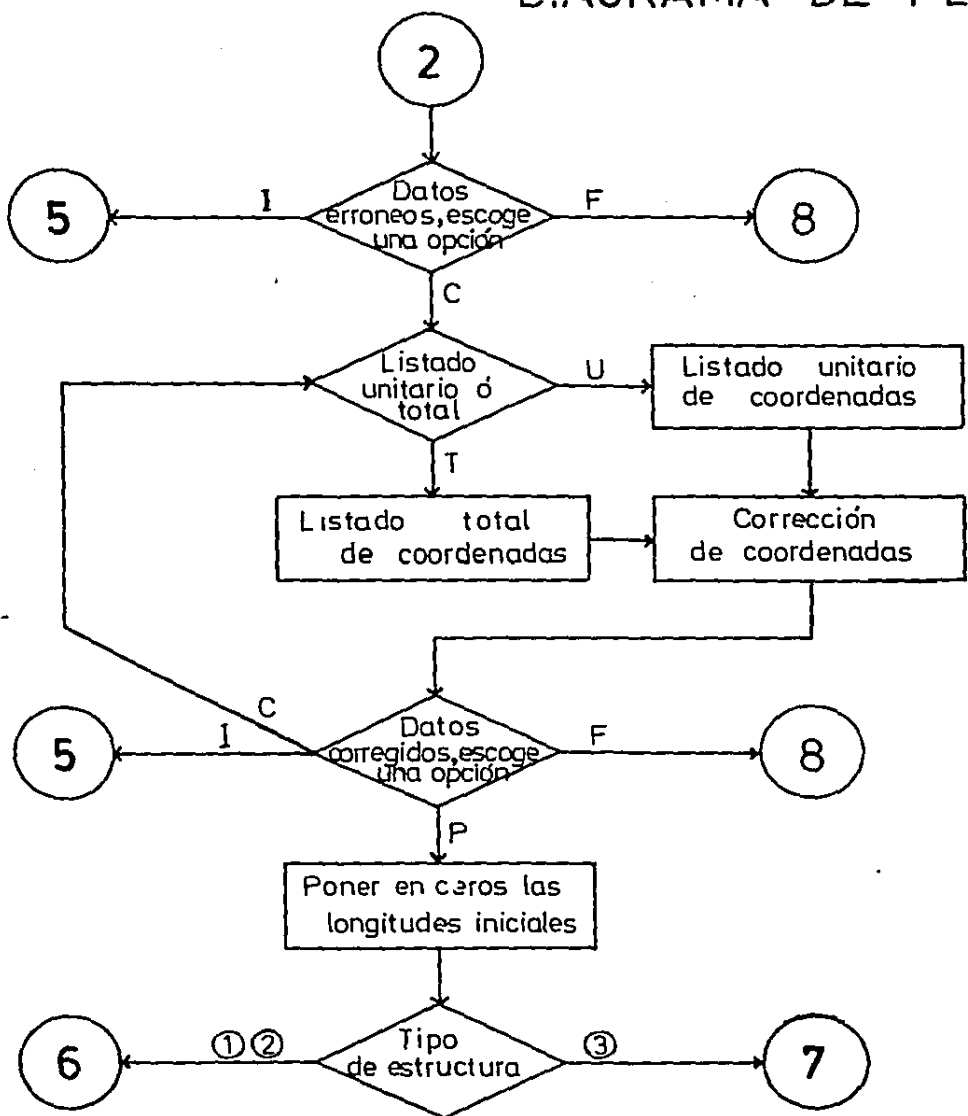


# DIAGRAMA DE FLUJO<sup>3</sup>



SUBRUTINA DE  
CORRECCION DE CARGAS

# DIAGRAMA DE FLUJO



SUBRUTINA DE  
CORRECCION DE COORDENADAS

### C) VARIABLES UTILIZADAS EN EL PROGRAMA

Para llegar a los resultados que son los momentos en los extremos de cada barra el programa tiene que almacenar los datos y los resultados parciales de cada iteración en algún lugar de la memoria del computador, por eso a continuación se muestran las variables que utiliza este para guardar dichos datos, así como los valores que contiene cada una de estas con el fin de facilitar la comprensión de dicho programat.

W	Tipo de estructura(s), E, T, D.
M	Cantidad de apoyos de la estructura.
N	Cantidad de nudos rigidos de la estructura.
WC(i)	Tipo de apoyo(C o T).
X(i)	Ubicación del nodo "i" con respecto al eje "x".
Y(i)	Ubicación del nodo "i" con respecto al eje y.
L(i,j)	Longitud de la barra entre los nudos "i" y "j".
D	Número de pisos de la estructura.
F(i)	Número de columnas del piso "i".
C(i,j)	Nudos entre los que se encuentra la col."i" del piso "j".
M(i,j)	Inercia de la barra entre los nudos "i" y "j".
M(i,j)	Momento de empotramiento perfecto en el extremo "i" de la barra entre los nudos "i" y "j". Al final se almacena en esta misma variable los momentos finales de cada barra.
PC(i,j)	Coef. de reacción en el nodo "i" de la barra conectada al nodo lejano "j".
S	Número de veces de la estructura.
S(i)	Momento de sujeción del nodo "i".
F(i)	Momento piso en el nudo "i".
DC(i)	Momento de piso en el piso "i".
V(i,j)	Factor de corrimiento de la columna "i" del piso "j".
D(i,j)	Factor de reducción de la columna "i" del piso "j".
G(i)	Sumatoria de momentos lejanos al nodo "i" en la última iteración.
B(i,j)	Momento debido al giro, en el extremo "i" de la barra entre los nudos "i" y "j"(última iteración). Sirve también como variable auxiliar en la impresión de datos en papel, antes de iniciar el proceso iterativo.
T(i,j)	Momento debido el giro, en el extremo "i" de la barra entre los nudos "i" y "j"(Penúltima iteración).
U(i)	Sumatoria de momentos de los extremos de todas las columnas del piso "i".
H(i,j)	Momento debido el desplazamiento de la columna "i" del piso "j"(última iteración).
G(i,j)	Momento debido el desplazamiento de la columna "i" del piso "j"(última iteración).

### OTRAS VARIABLES:

CONTADORES: I,J,M.

ANALISIS DE LECTURA: A1,A2,B1,B2.

VARIABLES ESPECIALES: m=Último valor leído.

s = Penglón del cuadro.

VARIABLES AUXILIARES: B,F,S,H,C,E,U,V,G,I(i),A,P,T.

Estas variables tienen tipos muy diversos.

### DO LISTADO DEL PROGRAMA

El programa comprende 787 líneas de programación impresas en 15 hojas. El funcionamiento detallado de éste es muy complicado, pero para cualquier referencia o aclaración puede ser de gran ayuda el listado.

El programa está dividido técnicamente en pequeños bloques de entre 5 y 40 líneas y cada hoja del listado comprende varios bloques.

En forma parecida que en los diagramas de flujo, lo podemos dividir en 4 partes:

	Entre líneas
(1)- Programa general	10-270
(2)- Subrutina de corrección de coordenadas	5840-6460
(3)- Subrutina de corrección de cargas	4800-5330
(4)- Subrutinas varías de ayuda	4000-4790 6470-7370

```

20 PRINT "ESTRUCTURA RIGIDA":LOCATE 15,10:PRINT "Y VIGAS CONTINUAS"
30 FOR I=5 TO 26
40 LOCATE 5,1:PRINT CHR$ (219):LOCATE 20,I:PRINT CHR$ (219)
50 NEXT I
60 FOR I=4 TO 19
70 LOCATE I,5:PRINT CHR$ (219):LOCATE 1,36:PRINT CHR$ (219)
80 NEXT I
90 LOCATE 25,18:PRINT "S.R.C. 844209 AGO/1988"
100 GOSUB 7410
110 CLEAR:DIM X(34),Y(34),L(34,34),P(17),C(17,17),M(34,34),Q(17),H(34,34)
120 DIM R(34,34),B(74,34),T(74,34),D(17,17),V(17,17),G(17,17),N(74)
130 DIM U(17),F(74),Z(74),S(74),W(74)
140 CLS:SCREEN 2:LOCATE 5,10
150 PRINT "***** CARACTERISTICAS DE LA ESTRUCTURA *****"
160 LOCATE 7,20:PRINT "TIPO DE ESTRUCTURA"
170 LOCATE 10,16:PRINT "1- MARCO RIGIDO CON DESPLAZAMIENTO LATERAL"
180 LOCATE 12,16:PRINT "2- MARCO RIGIDO SIN DESPLAZAMIENTO LATERAL"
190 LOCATE 14,16:PRINT "3- VIGA CONTINUA":GOSUB 6590
200 GOSUB 6680
210 IF (MS="1") OR (MS="2") OR (MS="3") THEN 220
220 BEER:LOCATE 10,41:PRINT SPACET (25):GOTO 230
230 W=VAL (MS)
240 LOCATE 22,15:INPUT "NOMBRE DE LA ESTRUCTURA (6 CARACTERES)":ES
250 IF LEN (CTA)=8 THEN 270
260 BEER:LOCATE 22,55:PRINT SPACET (27):GOTO 240
270 LOCATE 22,16:INPUT "DESEAS VER LAS ESPECIFICACIONES (S/N) ";MS
280 IF MS="S" THEN 310
290 IF MS="N" THEN 360
300 BEER:LOCATE 22,76:PRINT SPACET (20):GOTO 320
310 CLS:LOCATE 7,18:PRINT "***** ESPECIFICACIONES *****"
320 F#E:GOSUB 4600
330 LOCATE 6,5:PRINT "LA ESTRUCTURA DEBE Cumplir LOS SIGUIENTES REQUISITOS:"
340 IF MS="S" THEN 350
350 H1:PRINT " 1- Barras de sección constante."
360 PRINT " 2- Barras verticales y horizontales únicamente."
370 PRINT " 3- Ningún nudo o apoyo deberá tener desplazamiento vertical."
380 PRINT " 4- Todos los nudos deberán ser rígidos."
390 PRINT " 5- No tener rotular entre los nudos."
400 PRINT " 6- La estructura tendrá desplazamientos horizontales en todas"
410 PRINT " sus columnas o en ninguna de ellas, pero en ningún caso se"
420 PRINT " se tensionen movimientos posibles de la estructura."
430 PRINT " 7- Las columnas de M, que tendrán la misma altura, excepto en"
440 PRINT " el nivel inferior donde se podrán tener diferentes alturas."
450 PRINT " 8- Los momentos de empatramiento son giro horario con (+)."
460 PRINT " 9- Los momentos puros son giro horario con (+)."
470 PRINT " 10- Los momentos puros actuando aplicados en los nudos o en los"
480 PRINT " apoyos simples, no se aceptarán en los empalmes."
490 PRINT " 11- Las fuerzas cortantes son (-) si van hacia la derecha."
500 GOSUB 7410
510 GOTO 310
520 PRINT " 12- Las fuerzas cortantes en la suma de las fuerzas laterales"
530 PRINT " arriba del piso considerado."
540 PRINT " 13- Los momentos resultantes serán (-) si tienen giro horario."
550 PRINT " 14- Las coordenadas de los nudos y los apoyos podrán ser (+) o"
560 PRINT " (-) pero con un valor absoluto menor a 100000."
570 PRINT " 15- Los apoyos serán simples(0) o empalmes(1)."
580 PRINT " 16- La estructura tendrá como máximo 70 nudos (apoyos incluidos)."
590 PRINT " 17- La aproximación de los resultados será de 0 a 3 decimales."
600 PRINT " 18- Si el caso de vigas continuas solo los apoyos de los extremos"
610 PRINT " podrán ser empalmes los demás serán simples."
620 PRINT " 19- El módulo de elasticidad E debe ser constante para toda la"
630 PRINT " estructura."
640 PRINT " 20- Las vigas en voladizo se tomarán como momentos puros."

```

5000  
 570 PRINT "\*\*\*\*\*GEOMETRIA DE LA ESTRUCTURA\*\*\*\*\*"  
 580 LOCATE 5,15:INPUT "CANTIDAD DE APOYOS ";M\$:GOSUB 4670  
 590 IF A1=1 THEN 710  
 600 M=VAL (M\$):IF (M\$)<INT (M\$) THEN 720  
 610 BEEP:LOCATE 5,30:PRINT SPACE\$ (41):GOTO 680  
 620 LOCATE 7,1:PRINT SPACE\$ (50); "COORDENADAS":F=8:GOSUB 4630  
 630 FOR I=1 TO M  
 640 GOSUB 4320  
 650 F=CEPLIN  
 660 LOCATE F,20:INPUT "TIPO DE APOYO ";M\$:IF (M\$="2") OR (M\$="3") THEN 740  
 670 IF F=24 THEN F=23  
 680 BEEP:LOCATE F,36:PRINT SPACE\$ (45):GOTO 760  
 690 M\$=VAL (M\$):PRINT  
 700 NEXT I  
 710 ON W GOTO 820,820,1720  
 720 CLS:PRINT  
 730 PRINT "\*\*\*\*\*GEOMETRIA DE LA ESTRUCTURA\*\*\*\*\*"  
 740 LOCATE 5,5:INPUT "CANTIDAD DE NUDOS RIGIDOS ";M\$:GOSUB 4670  
 750 IF A1=1 THEN 870  
 760 M=VAL (M\$):IF (M\$)<INT (M\$) THEN 880  
 770 BEEP:LOCATE 5,36:PRINT SPACE\$ (45):GOTO 840  
 780 LOCATE 7,1:PRINT SPACE\$ (50); "COORDENADAS":F=8:GOSUB 4630  
 790 FOR I=14M TO NRM  
 800 GOSUB 4700  
 810 PRINT  
 820 NEXT I  
 830 FOR I=1 TO NRM  
 840 R=1000000!:P=1000000!:S=100000!:RH=100000!  
 850 C=0:E=0:U=0:W=0  
 860 FOR J=1 TO NRM  
 870 IF I=J THEN 1120  
 880 IF (YC(J)=YC(I)) AND (YC(J)=YC(I)) THEN GOSUB 5630  
 890 IF (YC(J)=YC(I)) AND (YC(J)=YC(I)) THEN 1120  
 900 IF (YC(I)=YC(J)) AND (YC(I)=YC(J)) THEN 1060  
 910 IF (YC(I)=YC(J)) AND (YC(I)=YC(J)) THEN 1040  
 920 IF (YC(I)=YC(J)) AND (YC(I)=YC(J)) THEN 1120  
 930 E=YC(I)-YC(J):GOTO 1120  
 940 IF (YC(I)=YC(J)) AND (YC(I)=YC(J)) THEN 1120  
 950 P=YC(J)-YC(I):E=J:GOTO 1120  
 960 IF (YC(I)=YC(J)) AND (YC(I)=YC(J)) THEN 1120  
 970 IF (YC(I)=YC(J)) AND (YC(I)=YC(J)) THEN 1100  
 980 IF (YC(I)=YC(J)) AND (YC(I)=YC(J)) THEN 1120  
 990 S=YC(I)-YC(J):H=GOTO 1120  
 1000 IF (YC(I)=YC(J)) AND (YC(I)=YC(J)) THEN 1120  
 1010 IF (YC(I)=YC(J)) AND (YC(I)=YC(J)) THEN 1120  
 1020 IF (YC(I)=YC(J)) AND (YC(I)=YC(J)) THEN 1120  
 1030 IF (YC(I)=YC(J)) AND (YC(I)=YC(J)) THEN 1120  
 1040 IF (YC(I)=YC(J)) AND (YC(I)=YC(J)) THEN 1120  
 1050 P=YC(J)-YC(I):E=J:GOTO 1120  
 1060 IF (YC(I)=YC(J)) AND (YC(I)=YC(J)) THEN 1120  
 1070 IF (YC(I)=YC(J)) AND (YC(I)=YC(J)) THEN 1100  
 1080 IF (YC(I)=YC(J)) AND (YC(I)=YC(J)) THEN 1120  
 1090 S=YC(I)-YC(J):H=GOTO 1120  
 1100 IF (YC(I)=YC(J)) AND (YC(I)=YC(J)) THEN 1120  
 1110 P=YC(J)-YC(I):E=J  
 1120 NEXT J  
 1130 IF C=0 THEN L(I,2)=B  
 1140 IF E=0 THEN L(I,1)=P  
 1150 IF U=0 THEN L(I,3)=S  
 1160 IF W=0 THEN L(I,4)=H  
 1170 NEXT I  
 1180 FOR I=1 TO M  
 1190 P(I)=0  
 1200 FOR J=1AM TO NRM  
 1210 IF X(I,J)=X(I,J) THEN 1230  
 1220 Z(I,J)=  
 1230 NEXT J,I  
 1240 FOR I=1NM TO NRM  
 1250 IF Z(I,I)=1 THEN 1270  
 1260 GOSUB 5630  
 1270 NEXT I

1290 D=1:I=0  
1300 B=100000  
1310 FOR I=1+M TO N+M  
1320 IF C7(I)=1 OR CYC(I,D) THEN 1340  
1330 B=Y(I)  
1340 NEXT I  
1350 C=0  
1360 FOR I=1+M TO N+M  
1370 IF Y(I,D)<B THEN 1390  
1380 Z(I,D)=1:C=C+1:CYC(C,D)=I  
1390 NEXT I  
1400 P(D)=C:D=D+1:L=L+C  
1410 IF L>N THEN 1700  
1420 L=1:D=D+1  
1430 FOR I=1 TO P(D)  
1440 FOR J=1+M TO N+M  
1450 FOR K=1 TO M  
1460 IF C(K,M)=0 OR CC(I,L)+K>D OR CYC(J,D)=Y(K,D) THEN 1480  
1470 CC(I,J)=CC(I,J)+1:D=1000  
1480 NEXT K,J,I  
1490 IF L>D THEN 1510  
1500 L=L+1:GOTO 1470  
1510 P=D  
1520 FOR I=1 TO D  
1530 IF CP(I,D)>1 AND CP(I,D)=P(I-1) THEN 1560  
1540 IF P=1 THEN 1570  
1550 GOSUB 5840  
1560 NEXT I  
1570 FOR I=1 TO M  
1580 FOR J=1+M TO N+M  
1590 IF CYC(J,D)=Y(J,D) OR CYC(J,D)=YC(J,D) THEN 1620  
1600 NEXT J  
1610 GOSUB 5840  
1620 NEXT I  
1630 FOR I=2 TO D  
1640 E=0  
1650 FOR J=1 TO P(D)  
1660 GOSUB 5470  
1670 E=E+L(G,H)  
1680 IF L(G,H)=(E/2) THEN 1700  
1690 GOSUB 5840  
1700 NEXT J,I  
1710 GOTO 2000

1700 FOR J=1 TO M+N-1: L(J)=0: NEXT J  
1720 FOR I=1 TO M  
1740 IF B(I,J)=0 THEN GOSUB 5840  
1760 FOR J=1 TO N  
1780 IF Z(J)=0 THEN 1780  
1770 IF X(I,J)=X(J,I) AND (Y(I,J)=Y(J,I)) THEN GOSUB 5840  
1780 NEXT J,I  
1790 FOR I=1 TO M  
1800 IF X(I,J)=0 THEN 1820  
1810 REM I,J,I,J,I,J  
1820 IF Y(I,J)=0 THEN 1820  
1830 S=Y(I,J):H=I  
1840 NEXT J  
1850 FOR I=1 TO M  
1860 IF C(I,J)=0 OR (I=J) THEN 1880  
1870 IF H(I,J)=0 THEN GOSUB 5840  
1880 NEXT I  
1890 FOR I=1 TO M  
1900 R=1000000\*I: S=100000\*I:H=0:I=0  
1910 FOR J=1 TO N  
1920 IF I=J THEN 1980  
1930 IF X(I,J)=X(J,I)=0 THEN 1980  
1940 IF (X(I,J)-X(J,I))<sup>2</sup> THEN 1980  
1950 R=X(I,J)-Y(J,I):H=I:DOTO 1980  
1960 IF (Y(I,J)-Y(J,I))<sup>2</sup> THEN 1980  
1970 S=Y(J,I)-Y(I,J):H=J  
1980 NEXT J  
1990 IF H(I,J)=0 THEN L(I,J)=R  
2000 IF U(I,J)=0 THEN L(I,J)=R  
2010 NEXT I  
2020 CLS:PRINT  
2030 PRINT "\*\*\*\*\* INICIAS DE LAS BARRAS \*\*\*\*\*"  
2040 READ:GOSUB 6470  
2050 FOR I=1 TO N+M  
2060 FOR J=1 TO N+M  
2070 IF (L(I,J)=0) OR (M(I,J)=0) THEN 2090  
2080 PRINT:GOSUB 6470  
2090 NEXT J,I  
2100 Z=0  
2110 FOR I=1 TO N+M  
2120 FOR J=1 TO N+M  
2130 IF L(I,J)=0 THEN 2150  
2140 Z=Z+1  
2150 NEXT J,I  
2160 Z=Z/2

```

170 CLS:PRINT
180 PRINT "*****" * MOMENTOS DE EMPOTRAMIENTO *****"
190 GOSUB 6710
200 IF H=0 THEN 2290
210 LOCATE 5,9:PRINT "MOMENTOS DE EMPOTRAMIENTO PERFECTO . LECTURA TOTAL"
220 PRINT:F=7:GOSUB 4630
230 FOR I=1 TO N+M
240   FOR J=1 TO N+M
250     IF (L(I,J)=0) OR (M(I,J)<>0) OR (I>J) THEN 2270
260   GOSUB 4490
270 NEXT J,I
280 GOTO 2410
290 LOCATE 5,9:PRINT "MOMENTOS DE EMPOTRAMIENTO PERFECTO LECTURA UNITARIA"
300 LOCATE 7,16:INPUT "# DE RAPAS CARGADAS ";M$:GOSUB 4670
310 IF A1=1 THEN 2300
320 MVAL (M$):GOTO 2740
330 BEEP:LOCATE 7,18:PRINT SPACES (42):GOTO 2700
340 IF (H1<0) OR (H2<0) OR (H3<0) THEN 2300
350 IF H=0 THEN 2410
360 F=8:GOSUB 4670
370 FOR L=1 TO H
380   GOSUB 4490
390   GOSUB 4490
400 NEXT L
410 CLS:GOSUB 4450
420 FOR I=1 TO N+M
430   IF M(I,I)<0 THEN 2480
440   FOR J=1 TO N+M
450     IF L(I,J)=0 THEN 2470
460     S(I,J)=S(I,J)+M(I,J)*F(I,J):Z(I,J)=Z(I,J)+M(I,J)/L(I,J)
470 NEXT J
480 NEXT I
490 FOR I=1 TO N+M
500   FOR J=1 TO N+M
510     IF (Z(I,J)=0) OR (L(I,J)=0) THEN 2530
520     P(I,J)=(-.5)*M(I,J)/Z(I,J)/L(I,J)
530 NEXT J,I
540 IF T=1 THEN GOTO 2930
550 ON W GOTO 2560,2670,2670
560 CLS:PRINT
570 PRINT "***** FUERZAS CORTANTES *****"
580 F=4:GOSUB 4630
590 FOR I=1 TO S
600   PRINT:F=CSPLIN
610   LOCATE F,20:PRINT "PISO ";I;:INPUT " OF ";M$:GOSUB 4670
620   IF A1=1 THEN 2640
630   O(I)=VAL (M$):GOTO 2660
640   IF F=0 THEN F=27
650   BEEP:LOCATE F,20:PRINT SPACES (42):GOTO 2610
660 NEXT I

```

56

1000 LOCATE CURRENT SPACES IN INPUT FILE AND MOVE THEM TO OUTPUT FILE  
1010 IF NOT FOUND EXIT  
1020 READ INPUT FILE  
1030 LOCATE A SPACES IN INPUT FILE AND MOVE THEM TO OUTPUT FILE  
1040 IF FOUND MOVE THEM ON FORWARD THREE BY THREE  
1050 IF NOT FOUND EXIT  
1060 FOR J=1 TO N  
1070 PRINT:READIN  
1080 LOCATE CURRENT SPACES IN INPUT FILE AND MOVE THEM TO OUTPUT FILE  
1090 IF NOT FOUND EXIT  
1100 READ INPUT FILE AND MOVE THEM  
1110 IF FOUND MOVE THEM ON FORWARD THREE BY THREE  
1120 IF NOT FOUND MOVE THEM  
1130 PRINT:LOCATE CURRENT SPACES IN INPUT FILE AND MOVE THEM TO OUTPUT FILE  
1140 IF FOUND MOVE THEM  
1150 READIN  
1160 LOCATE CURRENT SPACES "MOMENTUM FIVE";PRINTSUB 4670  
1170 IF FOUND MOVE THEM  
1180 READIN OUT1:FORMAT 2860  
1190 IF FOUND MOVE THEM  
1200 READIN OUT2:FORMAT 2860  
1210 READLOCATE CURRENT SPACES (44):GOTO 2860  
1220 ENDIF:ELSE:  
1230 NEXT J  
1240 OUT1=W\$OUT1,OUT2,W\$OUT2  
1250 OUT1=OUT1,OUT2,W\$OUT2  
1260 FOR J=1 TO N  
1270 OUT1  
1280 FOR J=1 TO N  
1290 OUT1=OUT1  
1300 IF FOUND MOVE THEM  
1310 READIN OUT1:FORMAT 2860  
1320 OUT1=OUT1,OUT2,W\$OUT2  
1330 OUT1=OUT1,OUT2,W\$OUT2  
1340 NEXT J  
1350 OUT1=OUT1,OUT2  
1360 NEXT J  
1370 READIN OUT1  
1380 OUT1=OUT1  
1390 READIN OUT1:FORMAT 2860  
1400 OUT1=OUT1,OUT2,W\$OUT2,OUT3,W\$OUT3,OUT4,W\$OUT4  
1410 NEXT J,I  
1420 FOR J=1 TO N  
1430 READIN OUT1  
1440 OUT1=OUT1  
1450 READIN OUT1:FORMAT 2860  
1460 OUT1=OUT1,OUT2,W\$OUT2,OUT3,W\$OUT3,OUT4,W\$OUT4  
1470 NEXT J,I



```

2770 FOR I=1 TO N+M
2780   M(I,I)=MC(I,I)+C*BCT,I)+BCH,I)
2800 NEXT I,I
2810 FOR I=1 TO S
2820   FOR J=1 TO PC(I)
2830     GOSUB 4470
2840     M(G,H)=MC(G,H)+HCO,I)+MC(H,G)+HCG,I)
2850 NEXT J,J
2860 FOR I=1 TO N+M
2870   FOR J=1 TO N+M
2880   IF L(I,J)=0 THEN 2900
2890   MC(I,J)=(INT (MC(I,J)*100E))/100E
2900 NEXT J,J
2910 CLR:SCREEN C
2920 LOCATE 7,15:PRINT "***** MOMENTOS EN LOS EXTREMOS *****"
2930 F=5:GOSUB 4670
2940 FOR I=1 TO N+M
2950   PRINT:F=SPLIN
2960   LOCATE F,25:PRINT "NUDO ";I
2970   FOR J=1 TO N+M
2980   IF L(I,J)=0 THEN 3000
2990   F=SPLIN:LOCATE F,25:PRINT "MC";I;"";J;"=";MC(I,J)
3000 NEXT J
3010 FOR J=1 TO S000
3020 NEXT J,I
3030 PRINT:F=SPLIN
3040 LOCATE F,17:INPUT "DESEA IMPRIMIR LOS RESULTADOS (S/N) ";MS
3050 IF MS="N" THEN 4190
3060 IF MS="S" THEN 3090
3070 IF F=0 THEN F=27
3080 DEEP:ALLOCATE F,F2:PRINT SPACES(27):GOTO 4040
3090 PRINT:PRINT:F=SPLIN
3100 ON ERROR GOTO 3270
3110 P=1:LPRINT:LPRINT
3120 LPRINT "***** MOMENTOS EN LOS EXTREMOS - ESTRUCTURA: ";EE;" ****"
3130 FOR I=1 TO N+M
3140   LPRINT:LPRINT "          NUDO ";I
3150   FOR J=1 TO N+M
3160   IF L(I,J)=0 THEN 3180
3170   LPRINT "          MC";I;"";J;"=";MC(I,J)
3180 NEXT J,I
3190 CLR:PRINT
3200 PRINT "      EL PROCESO DE CALCULO HA ESTADO COMPLETADO."
3210 PRINT "      LISTED PUENE ESCOGER ENTRE LAS SIG. OPCIONES:"
3220 GOSUB 4590
3230 LOCATE 8,21:PRINT "1- RESOLVER OTRA ESTRUCTURA."
3240 LOCATE 10,21:PRINT "2- FINALIZAR EL PROGRAMA."
3250 LOCATE 12,21:PRINT "3- VER LOS RESULTADOS DE NUEVO."
3260 GOSUB 4660
3270 IF (MCX>"1") AND (MCX>"2") AND (MCX>"3") THEN 4290
3280 GEVAL(MCX):ON G GOTO 310,4300,3910
3290 DEEP:ALLOCATE 18,41:PRINT SPACES(24):GOTO 4260
3300 SCREEN 3:KEY ON
3316 END

```

```

4500 LOCATE F,20:PRINT " X(";I;"") ";:INPUT M#:GOSUB 4670
4510 IF A1=1 THEN 4560
4520 Y(I)=VAL (M#):GOTO 4580
4530 IF F>M THEN F=F-1
4540 BEEP:LOCATE F,20:PRINT SPACES (49):GOTO 4530
4550 F=20:LN
4560 LOCATE F,21:PRINT " Y(";I;"") ";:INPUT M#:GOSUB 4670
4570 IF A1=1 THEN 4520
4580 Y(I)=VAL (M#):GOTO 4540
4590 IF F=24 THEN F=F-1
4600 BEEP:LOCATE F,21:PRINT SPACES (49):GOTO 4590
4610 RETURN
4620 FOR I=1 TO M-1:NEXT I
4630 RETURN
4640 D=LEN (I):PRINT CINT (CINT (D)+1000)
4650 RETURN
4660 F=20:LN
4670 LOCATE F,20:PRINT "MF(";I;"","";");:INPUT M#:GOSUB 4670
4680 IF A1=1 THEN 4570
4690 M1,I1=VAL (M#):GOTO 4650
4700 IF F>M THEN F=F-1
4710 BEEP:LOCATE F,20:PRINT SPACES (47):GOTO 4700
4720 F=20:LN
4730 LOCATE F,20:PRINT "ME(";I;"","";");:INPUT M#:GOSUB 4670
4740 IF A1=1 THEN 4690
4750 M2,I2=VAL (M#):GOTO 4710
4760 IF F>M THEN F=F-1
4770 BEEP:LOCATE F,20:PRINT SPACES (47):GOTO 4760
4780 PRINT
4790 RETURN
4800 FOR I=1 TO CC
4810 LOCATE F,19:PRINT CINT (D005)
4820 NEXT I
4830 RETURN
4840 R1=LEN (M#):A1=C1:C1=1:D1=0
4850 IF D1>0 THEN GOTO 4870
4860 A1=1:GOTO 4870
4870 B1=ASC (LEFT$ (M#,1))
4880 IF (B1=25) OR (B1=43) THEN C1=C1
4890 FOR K=C1 TO P1
4900 B1=ASC (MID$ (M#,K,1))
4910 IF (B1=49) AND (P1<=57) THEN 4780
4920 IF B1=46 THEN D1=D1+1
4930 IF (B1=1) AND (C1=60) THEN 4780
4940 A1=1
4950 NEXT K
4960 RETURN

```

56

5



61

(62)

60

# CAPITULO 51

## APLICACION DEL PROGRAMA EN CASOS CONCRETOS

### A) GENERALIDADES

Hasta ahora sólo nos hemos referido al funcionamiento interno del programa, sin tomar en cuenta que será el uso externo lo que más frecuentemente se necesitará consultar, es por eso que en esta parte hacemos referencia al uso de este paso a paso para aclarar las dudas que tenga el usuario.

En este capítulo presentamos doce ejemplos de problemas que se resolvieron por medio del "Método de Kani" en el computador para facilitar el entendimiento del programa, y los cuales cumplen con todas las especificaciones requeridas.

La mayor parte de éstos son marcos con desplazamiento lateral, ya que es el caso que más comúnmente encontraremos en la realidad y el de más difícil resolución cuando éste se efectúa a mano.

También se resuelven algunos marcos sin desplazamiento lateral y vigas continuas para que la explicación sea un poco mas general, pero siempre recordando que este método fue hecho especialmente para las estructuras con desplazamiento lateral y de varios pisos.

## B) USO DEL PROGRAMA

Cualquier ingeniero que tenga mínimas nociones de lo que es el análisis estructural podrá usar el programa, ya que el computador solo necesitará de los datos mínimos para poder llevar a cabo el cálculo de la estructura en cuestión, ahorrando tiempo y evitando los frecuentes errores debidos al enorme manejo de datos.

Para el uso del programa lo hemos dividido en 25 partes esenciales las cuales emplearemos a continuación:

### 1- PRESENTACIÓN DEL PROGRAMA:

Aparecerá en la pantalla la parte de la programación y sólo tenemos que tocar alguna tecla para iniciar con lo que es la lectura de datos.

### 2- SELECCIÓN DEL TIPO DE ESTRUCTURA:

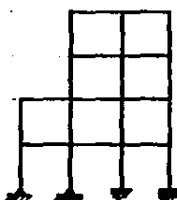
El programa se limitará a la resolución de tres tipos de estructuras y que son los siguientes:

- 1.-Marco rígido con desplazamiento lateral: en este tipo de estructura el desplazamiento se permitirá en todos los pisos de ésta.
- 2.-Marco rígido sin desplazamiento lateral: ninguno de los nudos de la estructura podrá tener movimientos laterales. Puede ser similar a la anterior pero con el movimiento lateral restringido.
- 3.-Viga continua.

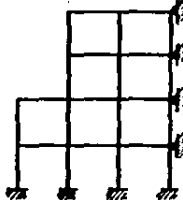
No se contempla la resolución de ningún caso que no entre dentro de los tres tipos anteriores.

El computador te pedirá que eliges uno de los tres opciones anteriores y después te preguntará el nombre de la estructura que vas a resolver (método de los corachanes de Jaén) y si después van las especificaciones que debe cumplir la estructura en caso de que las ignores o no las recuerdes, en caso de ser negativo tu respuesta pasaremos a la parte 4.

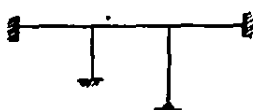
Tipo 1



Tipo 2



Tipo 3



### 3- ESPECIFICACIONES:

El computador te mostrará en la pantalla 20 requisitos que deben cumplir las estructuras que se van a resolver por medio de este programa. La estructura tiene que cumplir todos los requisitos anteriores, ya que en caso contrario el computador señalará un error, o nos dará resultados erróneos lo cual sera culpa del usuario.

Una vez revisados los requisitos podemos continuar con la siguiente parte con solo oprimir alguna tecla.

### 4- LECTURA DE LOS APOYOS:

El computador leerá el número de apoyos que nosotros le señalemos y los numerará automáticamente comenzando por el número uno. Los datos que se leerán son la ubicación y el tipo de cada uno de los apoyos y que se darán como a continuación se explica:

-Ubicación: Esta se dará tomando como referencia un eje cartesiano "X" horizontal y un eje cartesiano "Y" vertical los cuales pueden tener origen en el lugar que más nos convenga para facilitar su lectura. Estos mismos ejes servirán de referencia para la ubicación de todos los nudos de la estructura. Las coordenadas pueden ser en números negativos.

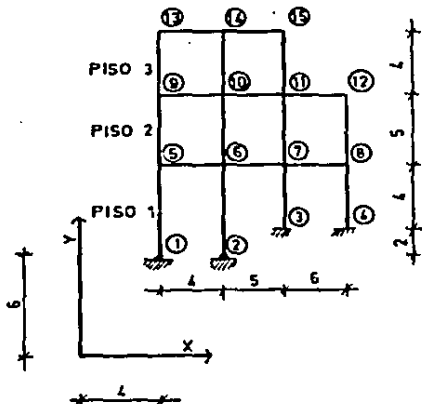
-Tipo de Apoyo: El computador solo aceptará dos tipos de apoyo que son el empotramiento (clave 3) y el apoyo de tipo simple (clave 2).

El computador brincará automáticamente al paso 4 en caso de que la estructura sea del tipo 3.

### 5- LECTURA DE LOS NUDOS:

El computador leerá el número de nudos que nosotros le señalemos y los numerará automáticamente comenzando por el siguiente número del último apoyo numerado. En el caso de los nudos sólo se pedirá su ubicación, ya que sólo se considerarán nudos del tipo rígido.

Para la ubicación de éstos se tomará como referencia los mismos ejes establecidos anteriormente.



NUDO	X	Y	APOYO
1	4	6	2
2	8	6	2
3	13	8	3
4	17	8	3
5	4	12	
6	8	12	
7	13	12	
8	17	12	
9	4	17	
10	8	17	
11	13	17	
12	17	17	
13	4	21	
14	8	21	
15	13	21	

#### 6- RELACIONADO Y DIAGNÓSTICO DE NUDOS Y APOYOS:

Esta parte del programa realiza una función muy importante, ya que revisa si los datos que le dimos en coordenadas son lógicos por medio de una serie de diagnósticos, y en caso de que lo sean relaciona los nudos por medio de barras y calcula las longitudes de estas.

-Relacionado de nudos y apoyos: Por medio de las coordenadas se calcula la longitud de cada barra y se obtienen los nudos en los extremos de éstas. Para las estructuras del tipo 1 y 2 el programa no considerará que existen barras entre los apoyos.

-Diagnóstico de coordenadas: El computador revisa las coordenadas que se le dieron, las longitudes que se calcularon y se comparan todos los datos entre sí por medio de 7 diagnósticos de los cuales 5 son para las estructuras del tipo 1 y 2 (A,B,C,D,E), y 2 para las del tipo 3 (F,G).

A--Detecta si dos uniones tienen la misma coordenada.

O sea que dos nudos, o dos apoyos, o un nudo y un apoyo tengan la misma ubicación.

B--Detecta si algún nudo está desfasado con respecto a todos los apoyos, o sea que no esté alineado con ningún apoyo.

C--Detecta si algún nudo está por encima de la estructura aunque este alineado con algún apoyo, o si existe un piso con mas columnas que su inmediato inferior.

D--Verifica que no haya ningún apoyo fuera de alineamiento con respecto a los nudos.

E--Verifica que todas las columnas de un piso tengan la misma altura, excepto en el piso inferior.

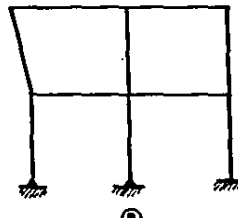
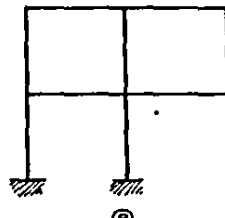
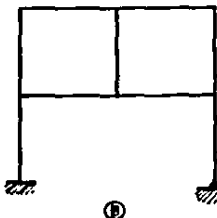
F--Detecta algún apoyo fuera de nivel con respecto a los demás.

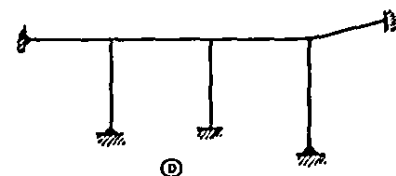
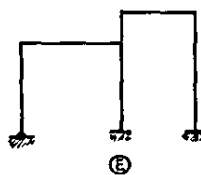
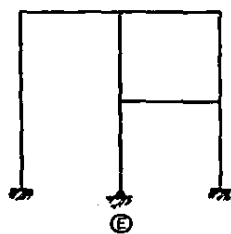
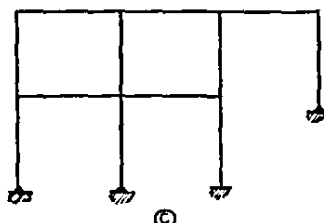
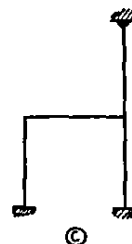
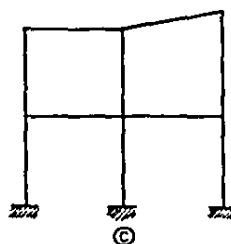
G--Detecta si existe algún apoyo intermedio que se haya leído como empotramiento lo cual es ilógico.

Existen ciertos casos especiales que el computador no detectará pero que darán como resultado cifras erróneas.

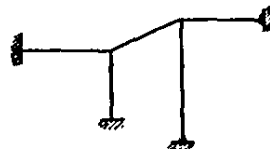
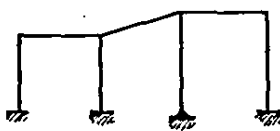
Si el computador detecta en alguno de los diagnósticos algún dato erróneo entonces automáticamente nos llevará al paso 16.

CASOS DETECTADOS POR  
LOS DIAGNÓSTICOS

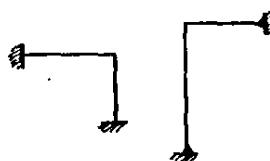
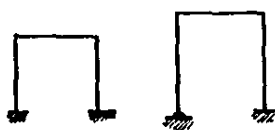




### CASOS ESPECIALES



ASI LOS INTERPRETA  
EL COMPUTADOR



#### 7- LECTURA DE INERCIAS:

El computador te pedirá automáticamente la inercia de cada barra, señalándote los extremos de ésta y cuando termine te pasará al paso 8.

El computador no aceptará inercias menores o iguales a cero.

#### 8- LECTURA DE MOMENTOS DE EMPOTRAMIENTO:

Las cargas más importantes para la estructura son los momentos de empotramiento, los cuales se calculan por medio de fórmulas ya deducidas en manuales para el caso de vigas doblemente empotradas, el valor de éste, depende de las cargas actuantes sobre la barra y de su longitud.

El computador te pedirá los momentos de empotramiento actuantes en los extremos de las barras por medio de dos tipos de lectura que son la unitaria y la total. Cada una de las cuales tiene sus ventajas y desventajas que se explican a continuación:

-Lectura Unitaria: El computador se concretará a leer nada más las barras que estén cargadas y a las demás les asignará un valor igual a cero. Este proceso de lectura es adecuado cuando tenemos estructuras con muchas barras y pocas cargas.

El computador comienza pidiéndote el número de barras cargadas y después repite el siguiente proceso tantas veces como barras cargadas tengamos:-Lectura del Nudo A

-Lectura del Nudo B

-Lectura del Momento(A,B)

-Lectura del Momento(B,A)

Se debe señalar que el programa ignorará los datos que se dieron en el caso de que no exista barra entre los nudos leídos, y repetirá la lectura de éstos.

-Lectura Total: En ésta el computador pedirá automáticamente el momento en cada extremo de todas las barras de la estructura, incluyendo las que no están cargadas. Este tipo de lectura es adecuado cuando la estructura es pequeña, o cuando es grande y tiene muchas cargas.

Terminada la lectura el computador pasará automáticamente al paso 9, o al paso 10 si la estructura es del tipo 2 o 3.

#### 9-LECTURA DE FUERZAS CORTANTES:

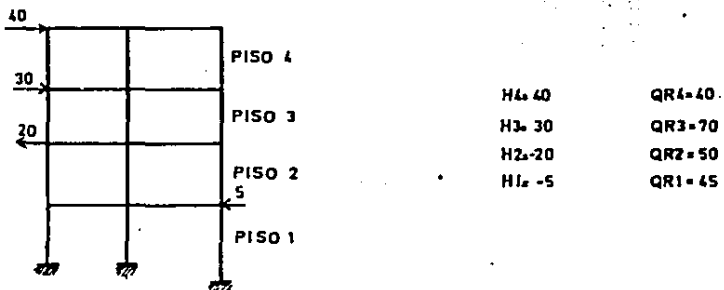
Las fuerzas cortantes son el resultado de la suma de todas las cargas laterales actuantes por encima de un piso dado. Estas cargas se obtienen de la siguiente manera:

-Se calculan las reacciones de empotramiento perfecto con las cargas actuantes para cada columna.

-Todas las reacciones calculadas se dibujan como cargas puntuales actuando lateralmente sobre los nudos.

-Para calcular la fuerza cortante en un piso dado sumaremos todas las cargas laterales actuando de ese piso hacia arriba y se designarán como CP. Se tomarán como positivas a las fuerzas que van de izquierda a derecha.

El proceso de lectura lo hará automáticamente el computador para todos los pisos y después brincará al paso 10.



#### 10.- LECTURA DE MOMENTOS PUROS:

La lectura de momentos puros es exclusiva para el caso de nudos, ya que si existen momentos puros entre dos nudos, éstos se darán por medio de sus respectivos momentos de empotramiento perfecto.

Los momentos puros se darán al computador con signo positivo en el caso de que giren en sentido horario. Las vigas en voladizo se darán al computador como momentos puros ignorando que también son barras.

El computador comenzará pidiendo la cantidad de nudos que tengan un momento puro, ya que lo más común es que no tengamos este tipo de cargas y su valor sea cero facilitando que pasemos al paso siguiente rápidamente. En caso de que si tengamos cargas de este tipo el computador realizará el siguiente proceso de lectura tantas veces como momentos puros tengamos:

-Número del nudo con momento puro.

-Valor del momento puro en ese nudo.

El computador no aceptará nudos inexistentes, ni momentos puros en empotramientos. En la lectura del número total de nudos con momentos puros tomarse cantidades mayores al número total de nudos en momentos a cero.

Al finalizar el proceso de lectura automáticamente pasará al paso 11, pero si la estructura es del tipo T brincará al paso 12.

#### 11.- CHEQUEOS:

En estructuras grandes es muy fácil cometer errores al momento de la lectura de los datos, es por eso que existe de mucho problema al que tuviéramos que comenzar el programa de nuevo en el caso de que hubiéramos cometido algún error en la entrada de las cargas; para resolver este problema el programa incluye una subrutina de correcciones que pone a disposición del usuario en esta parte del programa junto con otras opciones como se explicará a continuación.

Esta parte del programa tiene como función el detenerse antes de continuar con el cálculo de la estructura para preguntarle al usuario lo siguiente: 1) -Si quiere continuar con el cálculo.

O) -Si desea corregir o revisar alguna de las cargas.

2) -Si quiere salirse del programa.

3) -Si quiere imprimir los datos de entrada.

La opción "1" te mandará automáticamente al paso 12, la opción "0" te mandará al paso 21, la opción "2" al paso 16 que es el fin del programa, y la opción "3" al 25.

#### 12- PROCESO ITERATIVO:

Esta parte es la más importante del programa, ya que es donde se resuelve la estructura y la que nos ahorrará muchas horas de trabajo. En unos minutos tendrá listos los resultados, que si fueran hechos a mano nos tomarían días para obtenerlos.

El computador comenzará por preguntarnos el número máximo de iteraciones que deseamos que éste efectúe y cuyo límite es la misma capacidad del computador, en seguida nos preguntará la aproximación con que queremos los resultados (1 ó 2 decimales).

Una vez tecleada la aproximación el computador iniciará el cálculo de la estructura y mostrará el mensaje "CALCULANDO" en la pantalla cada vez que termine una iteración junto con un sonido beep.

El proceso de cálculo puede terminar de dos maneras diferentes que se explicarán a continuación:

-Por convergencia: Los datos del proceso iterativo ya no varían y no tiene razón seguir con más iteraciones. El computador te mostrará el número de la iteración en que se quedó y después te pedirá que oprimes cualquier tecla para mostrar los resultados.

-Por llegar a la máxima iteración: El computador llegó a la última iteración y los datos aún no convergen. En este caso tu tendrás la oportunidad de escoger si continuar con más iteraciones o si pasas a los resultados. Si escogiste ver los resultados solo tendrás que oprimir alguna tecla para que te muestren los resultados en la pantalla; pero si elegiste continuar entonces tendrás que darle el número de iteraciones extra que quieras que lleve a cabo.

#### 13- PRESENTACIÓN DE LOS RESULTADOS:

El computador presentará en pantalla los momentos resultantes en los extremos de las barras por grupos, comenzando por todos los momentos que estén en el apoyo uno, y siguiendo nudo por nudo hasta finalizar con el de número mayor.

#### 14- IMPRESIÓN DE RESULTADOS:

Si nos preguntará si queremos imprimir los resultados en papel; y si la respuesta es negativa entonces pasaremos a la parte 15. Si aceptamos imprimir en papel y la impresora está apagada o no está conectada provocará que el computador muestre un mensaje referente a ésto, pero nos dará la oportunidad de volver a intentar la impresión. Una vez hecha ésta brindaremos a la parte siguiente.

**15- OPCIONES FINALES:**

Mostrará en la pantalla el menú de opciones que tiene el usuario antes de finalizar el programa y que son las siguientes:

- 1- Resolver otra estructura: Borra todos los datos leídos y calculados e inicia un nuevo proceso de cálculo en el paso 2.
- 2- Finalizar el programa: Nos manda al paso 16 donde nos saca del programa.
- 3- Ver los resultados de nuevo: Nos manda al paso 15, dándonos la oportunidad de ver los resultados en pantalla e imprimirlos de nuevo.

**16- FIN:**

Se borra la pantalla y nos devolverá a la modalidad GWBASIC.

**17- RESULTADO DEL DIAGNÓSTICO Y OPCIONES:**

En caso de que cualquiera de los diagnósticos hechos en el paso 6 resultara positivo el computador nos mandará hasta esta sección donde tenemos las siguientes opciones:

- 1- Inicializar el programa: Borra todos los datos leídos e inicia el programa de nuevo en el paso 2, en caso de que la mayoría de los datos que dimos al computador estén equivocados.
- 2- Finalizar el programa: Nos manda al paso 16 donde nos saca del programa.
- 3- Corregir errores: Esta opción nos da la oportunidad de buscar y corregir errores que los diagnósticos detectaron. Nos manda al paso 18.

**18- LISTADO DE COORDENADAS:**

En esta sección el computador nos muestra las coordenadas de las uniones para que las podamos checar en caso de que no sepamos en que parte se encuentra el error.

El listado se puede hacer de dos formas diferentes que se explican a continuación:

-Unitaria: Cuando el número de nudos es muy grande, no caben en la pantalla con un listado total, siendo más fácil hacerlo en forma unitaria. Este tipo de listado nos da las coordenadas de las uniones que nosotros le señalemos una por una.

Se nos pedirá el número del apoyo o nudo, y aparecerán en pantalla sus coordenadas y el tipo de éste. Nos preguntará si deseamos ver algún otro, en caso de que la respuesta sea negativa pasaremos al paso 19.

-Total: Se mostrará en pantalla el listado total de los nudos y apoyos con sus correspondientes coordenadas y tipos de estos. Con sólo oprimir alguna tecla pasaremos al paso 19.

#### 19- CORRECCIÓN DE COORDENADAS:

Una vez revisadas las coordenadas sabemos cuales son los nudos que debemos corregir y es en esta sección donde se llevará a cabo dicha corrección.

Se nos preguntará la cantidad de nudos con errores y el siguiente proceso se realizará tantas veces como nudos erróneos tengamos:

- Se leerá el número del nudo.
- Se leerán las nuevas coordenadas X y Y.
- En caso de que sea apoyo también se tendrá que dar el nuevo tipo de éste.

Terminado el proceso, continuará con el paso 20.

#### 20- OPCIONES DESPUÉS DE LAS CORRECCIONES:

Los errores ya fueron corregidos en caso de que existieran, tenemos ahora que escoger entre las siguientes opciones:

- 1- Inicializar el programa: Volveremos a la parte 2.
- 2- Finalizar el programa: Nos saca del programa mandándonos al paso 16.
- 3- Corregir errores: Nos da opción a corregir errores que hubiéramos omitido.
- 4- Continuar el programa ya corregido: Una vez corregidos los errores podemos continuar en forma normal con el programa. Si elegimos esta opción el computador nos mandará al paso 6 donde las nuevas coordenadas serán analizadas una vez mas por los diagnósticos.

#### 21- MENÚ DEL LISTADO DE CARGAS:

Terminada la lectura de las cargas y antes de iniciar el proceso iterativo tenemos la opción de checar y corregir errores. En esta sección nos limitaremos a escoger el tipo de carga que queremos listar y cuyas opciones son las siguientes:

- 1- Inercia de las barras.
- 2- Momentos de empotramiento.
- 3- Fuerzas cortantes por piso.
- 4- Momentos puros.
- 5- Ninguno.

La explicación de cada uno de ellos se da en el siguiente paso que son los listados.

#### 22- LISTADO DE CARGAS:

Dependiendo de la opción que elegiste el listado será como a continuación se explica:

1- Inercia de las barras: El listado puede ser de dos formas diferentes:

-Unitario: Nos da sólo las inercias de las barras que le pidamos y para ésto debemos seguir los siguientes pasos:

-Lectura de los nudos A y B de los extremos de la barra.

-Presentación en la pantalla de la inercia  $I(A,B)$ .

Cada que se presente la inercia de una barra el computador te preguntará si deseas otra.

-Total: Presentará en la pantalla el listado total de las barras de la estructura con sus inercias.

Una vez terminado el listado podemos escoger entre listar otras cargas (nos manda al paso 21) o no hacerlo (nos manda al paso 22).

2- Momentos de Empotremiento: El listado puede ser de dos formas:

-Unitario: Es similar al de las inercias sólo que en este caso presentará dos momentos por barra en lugar de una inercia.

-Total: Nos mostrará todos los momentos de empotremiento actuantes en la estructura incluyendo los que valen cero, por orden progresivo.

Una vez terminado el listado podemos escoger entre listar otras cargas (nos manda al paso 21) o no hacerlo (nos manda al paso 22).

3- Fuerzas cortantes: Nos da el listado de cada una de las fuerzas laterales que actúan por piso. Aquí también podemos escoger entre listar más cargas o no.

4- Momentos puros: Nos da los momentos puros de todos los nudos, aun los que valen cero. Aquí también tenemos la opción de listar otras cargas o no hacerlo.

5- Ninguno: Al escoger esta opción pasaremos directamente al paso 23 sin listar cargas.

#### 23- MENÚ DE CORRECCIÓN DE CARGAS:

Después de revisar los listados de cargas se procede a corregir los errores detectados. En esta sección nos limitaremos a escoger el tipo de carga que vamos a corregir y que son los mismos que se dieron en el menú de listado (Parte 21). Será en la siguiente sección donde se llevará a cabo la corrección.

#### 24- CORRECCIÓN DE CARGAS:

Dependiendo de la opción elegida la corrección será como a continuación se explica:

1- Inercia de las barras: Permite la corrección de todas las inercias que queramos por medio del siguiente proceso : -Lectura de los nudos A y B de los extremos de la barra.

-Lectura de la nueva inercia.

-Respecto a los momentos se si queremos  
conservar otra barra.

- Terminado este proceso regresaremos a la parte 02.  
 3- Momentos de empotramiento. Permite la obtención de  
cuálquier uno de los momentos de empotramiento en las  
barras de la estructura con el siguiente procedimiento:  
 -Estructura de los nudos A y B de las barras  
de la barra.

-Estructura de los otros momentos. Si A, B, C  
y D.

-Respecto a la pregunta de si queremos con-  
siderar otra barra.

- Terminado este proceso regresaremos a la parte 02.  
 4- Fuerzas constantes. Permite la obtención de cualesquier  
de las fuerzas constantes actuantes en los nudos por  
medio del siguiente procedimiento:

-Estructura del nudo en el que deseamos la  
fuerza que actúe.

-Estructura de la otra barra.

-Respecto a la pregunta de si queremos con-  
siderar otra barra.

- Terminado este proceso regresaremos a la parte 02.  
 4- Momentos puros. Permite la obtención de los momentos de  
los momentos puros actuantes en los nudos por medio del  
siguiente procedimiento:

-Estructura del nudo del nudo donde actúa el  
momento por conservar.

-Estructura del otro momento puro.

-Respecto a la pregunta de si queremos con-  
siderar otra barra.

- Terminado este proceso regresaremos a la parte 02.  
 Si Ninguno. Ya librándose de considerar la otra barra  
podemos continuar con el tratamiento normal del progra-  
ma. Esta opción es la misma al punto 11.

Este sección nos provee de una gran ayuda, pues en vez de que  
se hubiera cometido algún error no tenemos que reanudar el  
programa.

#### 05- IMPRESIÓN DE DATOS DE ENTRADA

El computador genera un apartado de impresión para que nos  
imprima en dos tablas los datos de cada una. En la primera tabla  
nos presentan las barras, longitudes, nodos y los momentos de  
empotramiento en cada uno de los extremos de las barras. En la  
segunda tabla aparecen los nudos con sus respectivas coordenadas  
y los momentos puros actuantes, también aparecen los momentos de  
piso correspondientes. En este segundo apartado aparecen los momentos  
de piso que no existen, pero se ignoraría ya que su valor siempre  
será cero.

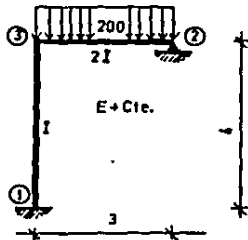
Una vez terminada la impresión el computador devolverá automáticamente  
a la parte 11.

### C) EJEMPLOS RESUELTOS

Ya comprendido el funcionamiento interno por el usuario, puede proceder a probarlo con cualquiera de los doce ejemplos que se muestran a continuación, los cuales ya tienen acomodados los datos de forma que la lectura sea rápida.

Todos estos ejemplos fueron resueltos con una aproximación de 3 decimales y el proceso iterativo fue completo, o sea que los datos sí llegaron hasta la convergencia.

## PROBLEMA 1



$$M = \frac{w_3^3}{12} = \frac{200(3)^3}{12} = 150$$

TIPO DE ESTRUCTURA=2

## COORDENADAS

Nudo	X	Y	Unión
1	0	0	3
2	3	4	2
3	0	4	

## INERCIAS

$$\begin{aligned} I(1,3) &= 1 \\ I(2,3) &= 2 \end{aligned}$$

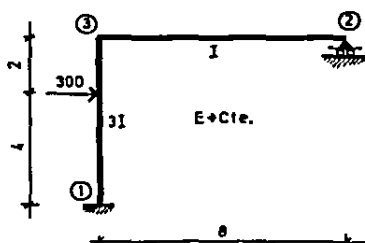
## MOMENTOS DE EMPOTRAMIENTO

$$\begin{aligned} M(1,3) &= 0 \\ M(3,1) &= 0 \\ M(2,3) &= 150 \\ M(3,2) &= -150 \end{aligned}$$

## MOMENTOS PUROS

Ninguno

**PROBLEMA 2**



$$M_{1-3} = \frac{300(4)(2)^2}{(6)^2} = -133$$

$$M_{3-1} = \frac{300(2)(4)^2}{(6)^2} = 267$$

$$R_{1-3} = 300\left(\frac{2}{6}\right)^2 \left(1 + 2\left(\frac{4}{6}\right)\right) = 78$$

$$R_{3-1} = 300\left(\frac{4}{6}\right)^2 \left(1 + 2\left(\frac{2}{6}\right)\right) = 222$$

TIPO DE ESTRUCTURA= 1

**COORDENADAS**

Nudo	X	Y	Unión
1	0	0	3
2	8	6	2
3	0	6	

**INERCIAS**

$$I(1,3)=3$$

$$I(2,3)=1$$

**MOMENTOS DE EMPOTRAMIENTO**

$$M(1,3)=-133$$

$$M(3,1)=267$$

$$M(2,3)=0$$

$$M(3,2)=0$$

**FUERZAS CORTANTES**

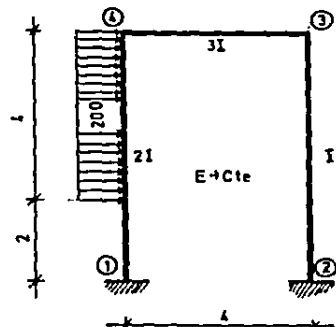
$$\text{Piso 1 } Q_R=222$$

**MOMENTOS PUROS**

Ninguno

ESTA TESIS NO DEBE  
SALIR DE LA BIBLIOTECA

**PROBLEMA 3**



$$M_{1-4} = -\frac{200(4)}{12(6)^2 4} \left[ (4)^3 (4(6) - 3(4)) - (0)^3 (4(6) - 3(0)) \right] = -356$$

$$M_{4-1} = -\frac{200}{12(6)^3(4)} \left[ (6)^3 (4(6) - 3(6)) - (2)^3 (4(6) - 3(2)) \right] = 533$$

$$R_{1-4} = \frac{200(4)}{2(6)} (2(0) + 4) + \left( \frac{356 - 533}{6} \right) = 237$$

$$R_{4-1} = \frac{200(4)}{2(6)} (2(2)+4) + \left( \frac{533-356}{6} \right) = 563$$

### TIPO DE ESTRUCTURA: A = 1

## COORDENADAS

Nudo	X	Y	Unión
1	0	0	A
2	4	0	B
3	4	6	C
4	0	6	D

## MOMENTOS DE EMPOTRAMIENTO

$$M(1,4) = -356$$

$$M(4,1)=533$$

$$M(2,3)=0$$

$$M(3,2)=0$$

$$M(3,4)=0$$

$$M(4,3)=0$$

## INERCIAS

$$1(1,4)=2$$

$$I(2,3)=1$$

$$1(3,4)=3$$

## FUERZAS COERTANTES

Piso 1 QR=56.3

MOMENTOS PIROS

Ninguth

# RESPUESTAS

(1)

(6)

\*\*\*\*\* MOMENTOS EN LOS EXTREMOS \*\*\*\*\*

NUDO 1  
 $M(1,3) = -37.5$

NUDO 2  
 $M(2,3) = 0$

NUDO 3  
 $M(3,1) = 75$   
 $M(3,2) = -75$

(2)

\*\*\*\*\* MOMENTOS EN LOS EXTREMOS \*\*\*\*\*

NUDO 1  
 $M(1,3) = -1026.99$

NUDO 2  
 $M(2,3) = 0$

NUDO 3  
 $M(3,1) = -171$   
 $M(3,2) = 171$

(3)

\*\*\*\*\* MOMENTOS EN LOS EXTREMOS \*\*\*\*\*

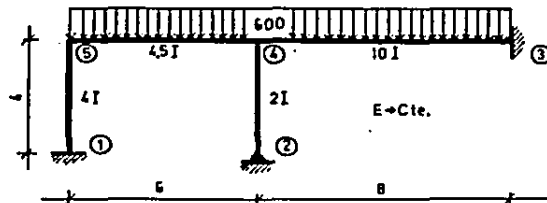
NUDO 1  
 $M(1,4) = -1521.88$

NUDO 2  
 $M(2,3) = -584.28$

NUDO 3  
 $M(3,2) = -544.4$   
 $M(3,4) = 544.41$

NUDO 4  
 $M(4,1) = -550.44$   
 $M(4,3) = 550.44$

## PROBLEMA 4



$$M_{5-4} = \frac{-600(6)^2}{12} = -1800 \quad M_{4-5} = 1800$$

$$M_{4-3} = \frac{-600(8)^2}{12} = -3200 \quad M_{3-4} = 3200$$

TIPO DE ESTRUCTURA= 2

## COORDENADAS

Nodo	X	Y	Unión
1	0	0	3
2	6	0	2
3	14	4	3
4	6	4	
5	0	4	

## INERCIAS

$$\begin{aligned} I(1,5) &= 4 \\ I(2,4) &= 2 \\ I(3,4) &= 10 \\ I(4,5) &= 4.5 \end{aligned}$$

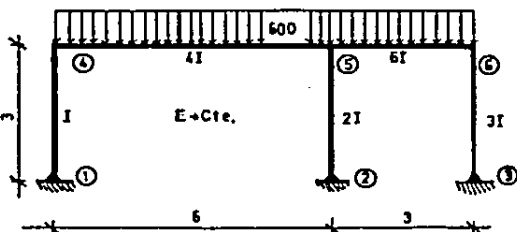
## MOMENTOS DE EMPOTRAMIENTO

$$\begin{aligned} M(1,5) &= 0 \\ M(5,1) &= 0 \\ M(2,4) &= 0 \\ M(4,2) &= 0 \\ M(3,4) &= 3200 \\ M(4,3) &= -3200 \\ M(4,5) &= 1800 \\ M(5,4) &= -1800 \end{aligned}$$

## MOMENTOS PUROS

Ninguno

**PROBLEMA 5**



TIPO DE ESTRUCTURA= 1

COORDENADAS

Nudo	X	Y	Unión
1	0	0	2
2	6	0	2
3	9	0	2
4	0	3	-
5	6	3	-
6	9	3	-

MOMENTOS DE EMPOTRAMIENTO

$$\begin{aligned}
 M(1,4) &= 0 \\
 M(4,1) &= 0 \\
 M(2,5) &= 0 \\
 M(5,2) &= 0 \\
 M(3,6) &= 0 \\
 M(6,3) &= 0 \\
 M(4,5) &= -1800 \\
 M(5,4) &= 1800 \\
 M(5,6) &= -450 \\
 M(6,5) &= 450
 \end{aligned}$$

$$M_{4-5} = \frac{-600(6)^2}{12} = -1800 \quad M_{5-4} = 1800$$

$$M_{5-6} = \frac{-600(3)^2}{12} = -450 \quad M_{6-5} = 450$$

INERCIAS

$$\begin{aligned}
 I(1,4) &= 1 \\
 I(2,5) &= 2 \\
 I(3,6) &= 3 \\
 I(4,5) &= 4 \\
 I(5,6) &= 6
 \end{aligned}$$

FUERZAS CORTANTES

$$\text{Piso 1} \quad Q_R=0$$

MOMENTOS PUROS

Ninguno.

## RESPUESTAS

(4)

(8)

\*\*\*\*\* MOMENTOS EN LOS EXTREMOS \*\*\*\*\*

NUDO 1  
 $M(1, 5) = 468.18$

NUDO 2  
 $M(2, 4) = 0$

NUDO 3  
 $M(3, 4) = 3482.39$

NUDO 4  
 $M(4, 2) = 161.37$   
 $M(4, 3) = -2635.22$   
 $M(4, 5) = 2473.95$

NUDO 5  
 $M(5, 1) = 936.36$   
 $M(5, 4) = -936.36$

(5)

\*\*\*\*\* MOMENTOS EN LOS EXTREMOS \*\*\*\*\*

NUDO 1  
 $M(1, 4) = .01$

NUDO 2  
 $M(2, 5) = 0$

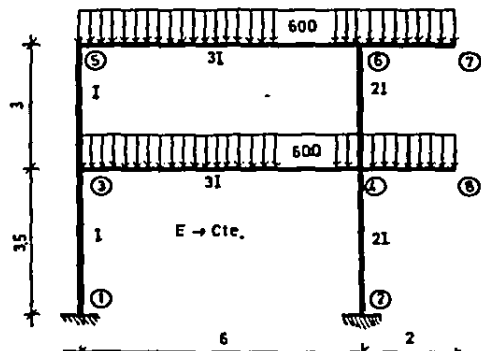
NUDO 3  
 $M(3, 6) = 0$

NUDO 4  
 $M(4, 1) = 511.37$   
 $M(4, 5) = -511.36$

NUDO 5  
 $M(5, 2) = -450$   
 $M(5, 4) = 2106.82$   
 $M(5, 6) = -1656.82$

NUDO 6  
 $M(6, 3) = -61.37$   
 $M(6, 5) = 61.35$

**PROBLEMA 6**



TIPO DE ESTRUCTURA = 1

COORDENADAS

Nudo	X	Y	Unión
1	0	0	3
2	6	0	3
3	0	3.5	3
4	6	3.5	3
5	0	6.5	3
6	6	6.5	3

MOMENTOS DE EMPOTRAMIENTO

$$\begin{aligned}
 M(1,3) &= 0 \\
 M(3,1) &= 0 \\
 M(2,4) &= 0 \\
 M(4,2) &= 0 \\
 M(3,4) &= -1800 \\
 M(4,3) &= 1800 \\
 M(3,5) &= 0 \\
 M(5,3) &= 0 \\
 M(4,6) &= 0 \\
 M(6,4) &= 0 \\
 M(5,6) &= -1800 \\
 M(6,5) &= 1800
 \end{aligned}$$

$$M_{6-5} = M_{4-3} = \frac{600(6)^2}{12} = 1800$$

$$M_{4-7} = M_{6-8} = \frac{600(2)^2}{2} = 1200$$

INERCIAS

$$\begin{aligned}
 I(1,3) &= 1 \\
 I(2,4) &= 2 \\
 I(3,4) &= 3 \\
 I(3,5) &= 1 \\
 I(4,6) &= 2 \\
 I(5,6) &= 3
 \end{aligned}$$

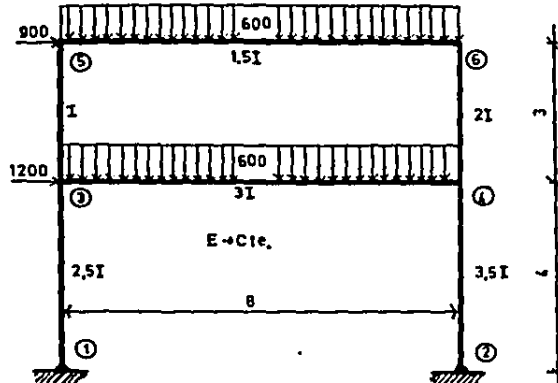
FUERZAS CORTANTES

$$\begin{aligned}
 \text{Piso 1} \quad Q_R &= 0 \\
 \text{Piso 2} \quad Q_R &= 0
 \end{aligned}$$

MOMENTOS PUROS

$$\begin{aligned}
 \text{Nudo 4} \quad M_P &= 1200 \\
 \text{Nudo 6} \quad M_P &= 1200
 \end{aligned}$$

PROBLEMA 7



$$M_{4,3} = \frac{600(8)^3}{12} = 3200$$

TIPO DE ESTRUCTURA = 1

COORDENADAS

Nudo	X	Y	Unión
1	0	0	2
2	8	0	2
3	0	4	
4	8	4	
5	0	7	
6	8	7	

INERCIAS

$$\begin{aligned} I(1,3) &= 2.5 \\ I(2,4) &= 3.5 \\ I(3,4) &= 3 \\ I(3,5) &= 1 \\ I(4,6) &= 2 \\ I(5,6) &= 1.5 \end{aligned}$$

MOMENTOS DE EMPOTRAMIENTO

$$\begin{aligned} M(1,3) &= 0 \\ M(3,1) &= 0 \\ M(2,4) &= 0 \\ M(4,2) &= 0 \\ M(3,4) &= -3200 \\ M(4,3) &= 3200 \\ M(3,5) &= 0 \\ M(5,3) &= 0 \\ M(4,6) &= 0 \\ M(6,4) &= 0 \\ M(5,6) &= -3200 \\ M(6,5) &= 3200 \end{aligned}$$

FUERZAS CORTANTES

$$\begin{aligned} \text{Piso 1} \quad Q_R &= 2100 \\ \text{Piso 2} \quad Q_R &= 900 \end{aligned}$$

MOMENTOS PUROS

Ninguno

RESPUESTAS

(6) \*\*\*\*\* MOMENTOS EN LOS EXTREMOS \*\*\*\*\*

NUDO 1  
MC 1 , 3 )= 127.38

NUDO 2  
MC 2 , 4 )= -221.87

NUDO 3  
MC 3 , 1 )= 349.25  
MC 3 , 4 )= -1052.22  
MC 3 , 5 )= 702.95

NUDO 4  
MC 4 , 2 )= -254.76  
MC 4 , 3 )= 2130.72  
MC 4 , 6 )= -675.98

NUDO 5  
MC 5 , 3 )= 822.86  
MC 5 , 6 )= -822.86

NUDO 6  
MC 6 , 4 )= -849.83  
MC 6 , 5 )= 2049.83

(7) \*\*\*\*\* MOMENTOS EN LOS EXTREMOS \*\*\*\*\*

NUDO 1  
MC 1 , 3 )= 0

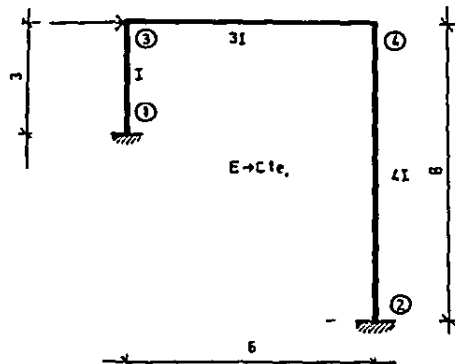
NUDO 2  
MC 2 , 4 )= -.01

NUDO 3  
MC 3 , 1 )= -2841.5  
MC 3 , 4 )= 1343.72  
MC 3 , 5 )= 1497.76

NUDO 4  
MC 4 , 2 )= -5558.51  
MC 4 , 3 )= 7292.17  
MC 4 , 6 )= -1733.69

NUDO 5  
MC 5 , 3 )= 1528.69  
MC 5 , 6 )= -1528.69

NUDO 6  
MC 6 , 4 )= -3992.77  
MC 6 , 5 )= 3992.76

**PROBLEMA 8****TIPO DE ESTRUCTURA= 1****COORDENADAS**

Nudos	X	Y	Unión
1	0	0	3
2	6	-5	3
3	0	3	3
4	6	3	3

**MOMENTOS DE EMPOTRAMIENTO**

$$\begin{aligned} M(1,3) &= 0 \\ M(3,1) &= 0 \\ M(2,4) &= 0 \\ M(4,2) &= 0 \\ M(3,4) &= 0 \\ M(4,3) &= 0 \end{aligned}$$

**INERCIAS**

$$\begin{aligned} I(1,3) &= 1 \\ I(2,4) &= 4 \\ I(3,4) &= 3 \end{aligned}$$

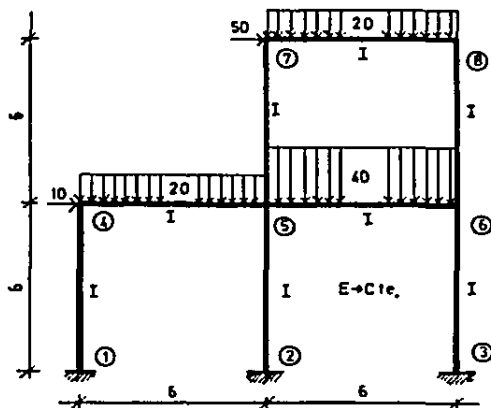
**FUERZAS CORTANTES**

Piso 1      QF=1200

**MOMENTOS PUROS**

Ninguno

## PROBLEMA 9.



$$M = \frac{40(6)^2}{12} = 120$$

$$M = \frac{20(6)^2}{12} = 60$$

TIPO DE ESTRUCTURA= 1

## COORDENADAS

Nudos	X	Y	Unión
1	0	0	3
2	6	0	3
3	12	0	3
4	0	6	
5	6	6	
6	12	6	
7	6	12	
8	12	12	

## INERCIAS

$$\begin{aligned} I(1,4) &= 1 \\ I(2,5) &= 1 \\ I(3,6) &= 1 \\ I(4,5) &= 1 \\ I(5,6) &= 1 \\ I(5,7) &= 1 \\ I(6,8) &= 1 \\ I(7,8) &= 1 \end{aligned}$$

## MOMENTOS DE EMPOTRAMIENTO

$$\begin{aligned} M(1,4) &= 0 \\ M(4,1) &= 0 \\ M(2,5) &= 0 \\ M(5,2) &= 0 \\ M(3,6) &= 0 \\ M(6,3) &= 0 \\ M(4,5) &= -60 \\ M(5,4) &= 60 \\ M(5,6) &= -120 \\ M(6,5) &= 120 \\ M(5,7) &= 0 \\ M(7,5) &= 0 \\ M(6,8) &= 0 \\ M(8,6) &= 0 \\ M(7,8) &= -60 \\ M(8,7) &= 60 \end{aligned}$$

## FUERZAS CORTANTES

$$\begin{aligned} \text{Piso 1} \quad Q_R &= 60 \\ \text{Piso 2} \quad Q_R &= 50 \end{aligned}$$

## MOMENTOS PUROS

Ninguno

8) RESPUESTAS

\*\*\*\*\* MOMENTOS EN LOS EXTREMOS \*\*\*\*\*

NUDO 1  
 $M(1, 3) = -1642.4$

NUDO 2  
 $M(2, 4) = -991.58$

NUDO 3  
 $M(3, 1) = -1267.58$   
 $M(3, 4) = 1267.58$

NUDO 4  
 $M(4, 2) = -848.47$   
 $M(4, 3) = 848.44$

\*\*\*\*\* MOMENTOS EN LOS EXTREMOS \*\*\*\*\*

NUDO 1  
 $M(1, 4) = -63.93$

NUDO 2  
 $M(2, 5) = -70.39$

NUDO 3  
 $M(3, 6) = -82.21$

NUDO 4  
 $M(4, 1) = -31.34$   
 $M(4, 5) = 31.33$

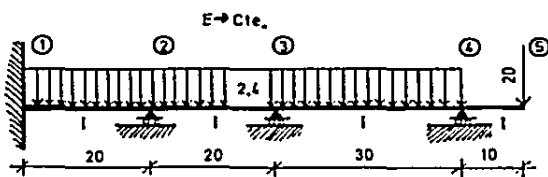
NUDO 5  
 $M(5, 2) = -44.25$   
 $M(5, 4) = 144.88$   
 $M(5, 6) = -53.4$   
 $M(5, 7) = -47.2$

NUDO 6  
 $M(6, 3) = -67.89$   
 $M(6, 5) = 174.78$   
 $M(6, 8) = -106.9$

NUDO 7  
 $M(7, 5) = -30.99$   
 $M(7, 8) = 30.98$

NUDO 8  
 $M(8, 6) = -114.92$   
 $M(8, 7) = 114.93$

**PROBLEMA 10**



$$M_{4-5} = 20(10) = 200$$

$$M_{2-1} = \frac{2.4(20)^3}{12} = 80$$

$$M_{4-3} = \frac{2.4(30)^3}{12} = 180$$

TIPO DE ESTRUCTURA=3

COORDENADAS

Nudos	X	Y	Unión
1	0	0	3
2	20	0	2
3	40	0	2
4	70	0	2

INERCIAS

$$\begin{aligned} I(1,2) &= 1 \\ I(2,3) &= 1 \\ I(3,4) &= 1 \end{aligned}$$

MOMENTOS DE EMPOTRAMIENTO

$$\begin{aligned} M(1,2) &= -80 \\ M(2,1) &= 80 \\ M(2,3) &= -80 \\ M(3,2) &= 80 \\ M(3,4) &= -180 \\ M(4,3) &= 180 \end{aligned}$$

MOMENTOS PUROS

$$\text{Nudo 4} \quad MP = 200$$

10

## \*\*\*\*\* MOMENTOS EN LOS EXTREMOS \*\*\*\*\*

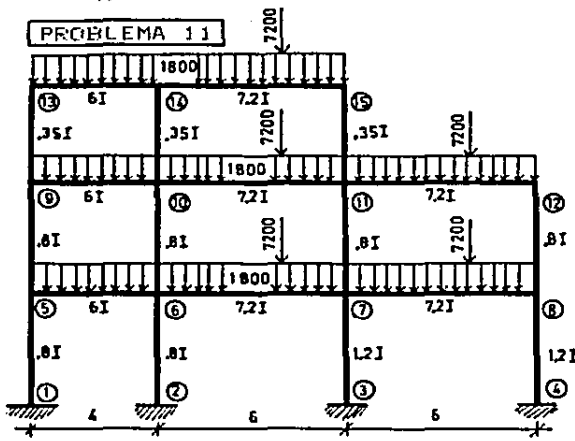
93

NUDO 1  
 $M(1,2) = -88.18$

NUDO 2  
 $M(2,1) = 63.64$   
 $M(2,3) = -63.63$

NUDO 3  
 $M(3,2) = 137.28$   
 $M(3,4) = -137.27$

NUDO 4  
 $M(4,3) = 200$



TIPO DE ESTRUCTURA = 1

COORDENADAS

Nudos	X	Y	Unión
1	0	0	3
2	4	0	3
3	10	0	3
4	16	0	3
5	0	4	
6	4	4	
7	10	4	
8	16	4	
9	0	8	
10	4	8	
11	10	8	
12	16	8	
13	0	11.5	
14	4	11.5	
15	10	11.5	

FUERZAS CORTANTES

- Piso 1      QR=0
- Piso 2      QR=0
- Piso 3      QR=0

MOMENTOS PUROS

Ninguno

$$M_{6-5} = \frac{1800(4)^2}{12} = 2400$$

$$M_{6-7} = \frac{1800(6)^2}{12} + \frac{7200(4)(2)}{(6)^2} = 8600$$

$$M_{7-6} = \frac{1800(6)^2}{12} + \frac{7200(2)(4)}{(6)^2} = 11800$$

INERCIAS

$$\begin{aligned} I(1,5) &= .8 \\ I(2,6) &= .8 \\ I(3,7) &= 1.2 \\ I(4,8) &= 1.2 \\ I(5,6) &= 6 \\ I(5,9) &= .8 \\ I(6,7) &= 7.2 \\ I(6,10) &= .8 \\ I(7,8) &= 7.2 \\ I(7,11) &= .8 \\ I(8,12) &= .8 \\ I(9,10) &= 6 \\ I(9,13) &= .35 \\ I(10,11) &= 7.2 \\ I(10,14) &= .35 \\ I(11,12) &= 7.2 \\ I(11,15) &= .35 \\ I(13,14) &= 6 \\ I(14,15) &= 7.2 \end{aligned}$$

MOMENTOS DE EMPOTRAMIENTO

$$\begin{array}{ll} M(1,5)=0 & M(7,8)=-8600 \\ M(5,1)=0 & M(8,7)=11800 \\ M(2,6)=0 & M(7,11)=0 \\ M(6,2)=0 & M(11,7)=0 \\ M(7,3)=0 & M(8,12)=0 \\ M(3,7)=0 & M(12,8)=0 \\ M(4,8)=0 & M(9,10)=-2400 \\ M(8,4)=0 & M(10,9)=2400 \\ M(5,6)=-2400 & M(9,13)=0 \\ M(6,5)=2400 & M(13,9)=0 \\ M(5,9)=0 & M(10,11)=-8600 \\ M(9,5)=0 & M(11,10)=11800 \\ M(6,7)=-8600 & M(10,14)=0 \\ M(7,6)=11800 & M(14,10)=0 \\ M(6,10)=0 & M(11,12)=-8600 \\ M(10,6)=0 & M(12,11)=11800 \end{array}$$

**MOMENTOS DE EMPOTRAMIENTO**

---

$M(11,15)=0 \quad M(14,13)=2400$   
 $M(15,11)=0 \quad M(14,15)=-8600$   
 $M(13,14)=-2400 \quad M(15,14)=11200$

(11)

(65)

## \*\*\*\*\* MOMENTOS EN LOS EXTREMOS \*\*\*\*\*

NUDO 1  
 $M(1, 5) = 284.51$

NUDO 2  
 $M(2, 6) = 437.28$

NUDO 3  
 $M(3, 7) = 344.29$

NUDO 4  
 $M(4, 8) = -626.42$

NUDO 5  
 $M(5, 1) = 305.22$   
 $M(5, 6) = -788.26$   
 $M(5, 9) = 483.02$

NUDO 6  
 $M(6, 2) = 610.75$   
 $M(6, 5) = 5157.43$   
 $M(6, 7) = -6724.06$   
 $M(6, 10) = 955.87$

NUDO 7  
 $M(7, 3) = 292.85$   
 $M(7, 6) = 12429.39$   
 $M(7, 8) = -13099.97$   
 $M(7, 11) = 377.69$

NUDO 8  
 $M(8, 4) = -1648.54$   
 $M(8, 7) = 3417.24$   
 $M(8, 12) = -1768.69$

NUDO 9  
 $M(9, 5) = 476.84$   
 $M(9, 10) = -818.14$   
 $M(9, 13) = 341.29$

NUDO 10  
 $M(10, 6) = 964.26$   
 $M(10, 9) = 5236.89$   
 $M(10, 11) = -6302.42$   
 $M(10, 14) = 101.26$

NUDO 11  
 $M(11, 7) = 431.18$   
 $M(11, 10) = 13121.62$   
 $M(11, 12) = -13367.08$   
 $M(11, 15) = -185.75$

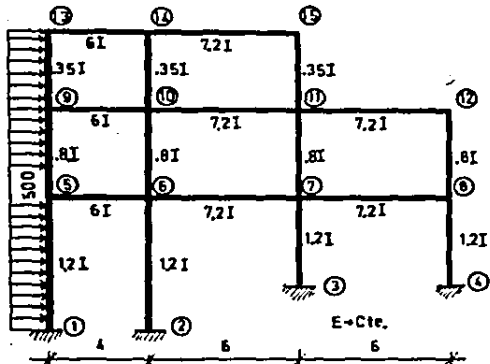
NUDO 12  
 $M(12, 8) = -1920.19$   
 $M(12, 11) = 1920.18$

NUDO 13  
 $M(13, 9) = 511.78$   
 $M(13, 14) = -511.79$

NUDO 14  
 $M(14, 10) = -219.29$   
 $M(14, 13) = -1622.28$   
 $M(14, 15) = -18358.45$

NUDO 15  
 $M(15, 11) = -549.32$   
 $M(15, 14) = 549.33$

## PROBLEMA 12



## COORDENADAS

Nudos	X	Y	Unión
1	0	0	3
2	4	0	3
3	10	2	3
4	16	2	3
5	0	6	
6	4	6	
7	10	6	
8	16	6	
9	0	10	
10	4	10	
11	10	10	
12	16	10	
13	0	13.5	
14	4	13.5	
15	10	13.5	

## FUERZAS CORTANTES

Piso 1 QR=5250  
 Piso 2 QR=2750  
 Piso 3 QR=875

## MOMENTOS PUROS

Ninguno

$$M_{13-9} = \frac{500(3.5)^2}{12} \approx 510$$

$$M_{9-5} = \frac{500(4)^2}{12} \approx 667$$

$$M_{5-1} = \frac{500(6)^2}{12} \approx 1500$$

## INERCIAS

$I(1,5)=1.2$
$I(2,6)=1.2$
$I(3,7)=1.2$
$I(4,8)=1.2$
$I(5,6)=6$
$I(5,9)=.8$
$I(6,7)=7.2$
$I(6,10)=.8$
$I(7,8)=7.2$
$I(7,11)=-.8$
$I(8,12)=.8$
$I(9,10)=6$
$I(9,13)=.35$
$I(10,11)=7.2$
$I(10,14)=.35$
$I(11,12)=7.2$
$I(11,15)=.35$
$I(13,14)=6$
$I(14,15)=7.2$

## MOMENTOS DE EMPOTRAMIENTO

$M(1,5)=-1500$	$M(7,8)=0$
$M(5,1)=1500$	$M(8,7)=0$
$M(2,6)=0$	$M(7,11)=0$
$M(6,2)=0$	$M(11,7)=0$
$M(7,3)=0$	$M(8,12)=0$
$M(3,7)=0$	$M(12,8)=0$
$M(4,8)=0$	$M(9,10)=0$
$M(8,4)=0$	$M(10,9)=0$
$M(5,6)=0$	$M(9,13)=-510$
$M(6,5)=0$	$M(13,9)=510$
$M(5,9)=-667$	$M(10,11)=0$
$M(9,5)=667$	$M(11,10)=0$
$M(6,7)=0$	$M(10,14)=0$
$M(7,6)=0$	$M(14,10)=0$
$M(6,10)=0$	$M(11,12)=0$
$M(10,6)=0$	$M(12,11)=0$

MOMENTOS DE EMPOTRAMIENTO

---

$$\begin{array}{ll} M(11,15)=0 & M(14,13)=0 \\ M(15,11)=0 & M(14,15)=0 \\ M(13,14)=0 & M(15,14)=0 \end{array}$$

## \*\*\*\*\* MOMENTOS EN LOS EXTREMOS \*\*\*\*\*

NUDO 1  
 $M(1, 5) = -3282.88$

NUDO 2  
 $M(2, 6) = -1941.71$

NUDO 3  
 $M(3, 7) = -4308.59$

NUDO 4  
 $M(4, 8) = -4039.82$

NUDO 5  
 $M(5, 1) = -261$   
 $M(5, 6) = 2301.05$   
 $M(5, 9) = -2040.05$

NUDO 6  
 $M(6, 2) = -1878.66$   
 $M(6, 5) = 1859.83$   
 $M(6, 7) = 1565.09$   
 $M(6, 10) = -1546.27$

NUDO 7  
 $M(7, 3) = -4106.47$   
 $M(7, 6) = 1995.28$   
 $M(7, 8) = 3500.54$   
 $M(7, 11) = -1389.34$

NUDO 8  
 $M(8, 4) = -3568.93$   
 $M(8, 7) = 4575.63$   
 $M(8, 12) = -1006.7$

NUDO 9  
 $M(9, 5) = -733.01$   
 $M(9, 10) = 1718.97$   
 $M(9, 13) = -985.96$

NUDO 10  
 $M(10, 6) = -1569.96$   
 $M(10, 9) = 1302.24$   
 $M(10, 11) = 789.64$   
 $M(10, 14) = -521.92$

NUDO 11  
 $M(11, 7) = -1471.2$   
 $M(11, 10) = 870.86$   
 $M(11, 12) = 1097.77$   
 $M(11, 15) = -497.43$

NUDO 12  
 $M(12, 8) = -1243.46$   
 $M(12, 11) = 1243.46$

NUDO 13  
M( 13 , 9 )= -16.25  
M( 13 , 14 )= 16.25

100

NUDO 14  
M( 14 , 10 )= -534.83  
M( 14 , 13 )= 160.14  
M( 14 , 15 )= 374.7

NUDO 15  
M( 15 , 11 )= -506.17  
M( 15 , 14 )= 506.15

# CAPITULO 6

## CONCLUSIONES

### A) CONCLUSIONES

Al método de Gaspar Kani se le ha considerado a veces como un método aproximado, pero ya vimos que puede ser tan exacto como los métodos que calculan un sólo resultado final; dependiendo ésto, del número de iteraciones que realicemos.

Tiene la enorme ventaja de ser correctivo, o sea, que si cometemos alguna equivocación, ésta se enmendará en las siguientes iteraciones, ya que partimos de datos supuestos. Si acaso, se piensa que el proceso iterativo es un tanto laborioso, éste quedará eliminado con el uso del computador, que ha venido a ser una de las herramientas más valiosas con que el hombre pueda haber contado, y mucho más útil para la rama de la Ingeniería Civil.

Este método resulta ideal para el cálculo de pórticos de varios pisos, debido a la sencillez de su procedimiento. Una vez visto el funcionamiento de nuestro programa, vemos también que además de sencillo el proceso iterativo se vuelve rapidísimo.

Depende pues el futuro de la Ingeniería del aprovechamiento que se le dé a las computadoras, no sólo en el campo del Análisis Estructural, sino también en todas las ramas en que sea factible su uso. De ahora en adelante será indispensable una mayor preparación en lo que a programación se refiere, pues las computadoras se tornan cada vez más indispensables en nuestra vida profesional.

Espero que el presente trabajo sirva como medio de consulta para aquellos que quieran profundizar en el análisis de pórticos de varios pisos y que los programas aquí desarrollados sean útiles para muchos ingenieros, los cuales están a su disposición en el momento que los requieran.

Quiero terminar recordando las palabras de un hombre que revolucionó la ciencia en sus tiempos, Sir Isaac Newton, quien refiriéndose a los conocimientos que el había llegado a tener dijo:

"Si he podido ver un poco más lejos que otros, ha sido por que estoy parado sobre hombros de gigantes".



# BIBLIOGRAFIA

## BIBLIOGRAFÍA

- (1) IBM PC (y compatibles).  
Introducción al sistema operativo, programación y aplicaciones en basic.  
Larry Joel Goldstein/ Martin Goldstein: Prentice Hall, 1986.
- (2) Iniciación al Basic del IBM/PC.  
Eddie Adams:Mc.Graw Hill, 1985.
- (3) Introducción a las computadoras y al proceso de datos.  
Daniel D.Benice:Prentice Hall, 1973.
- (4) Mecánica de materiales.  
F.R.Shanley:Mc.Graw Hill, 1965.
- (5) Teoría elemental de estructuras  
Yuan-yu Hsieh:Prentice Hall, 1970.
- (6) Cálculo de pórticos de varios pisos.  
Gaspar Kani:Editorial Reverte S.A., 1981.
- (7) Indeterminate Structural Analysis.  
Sterling Kinney J.:The A.W. Series in Civil Engineering.
- (8) Análisis Estructural.  
Rodolfo Luthe G.:Representaciones y servicios de Ingeniería.
- (9) Análisis Estructural.  
Jack C. McCormac:Harla, 1983.
- (10) Estructuras Hiperestabletas.  
Apuntes tomados de la clase del Ing. Heberto Castillo, 1960.

